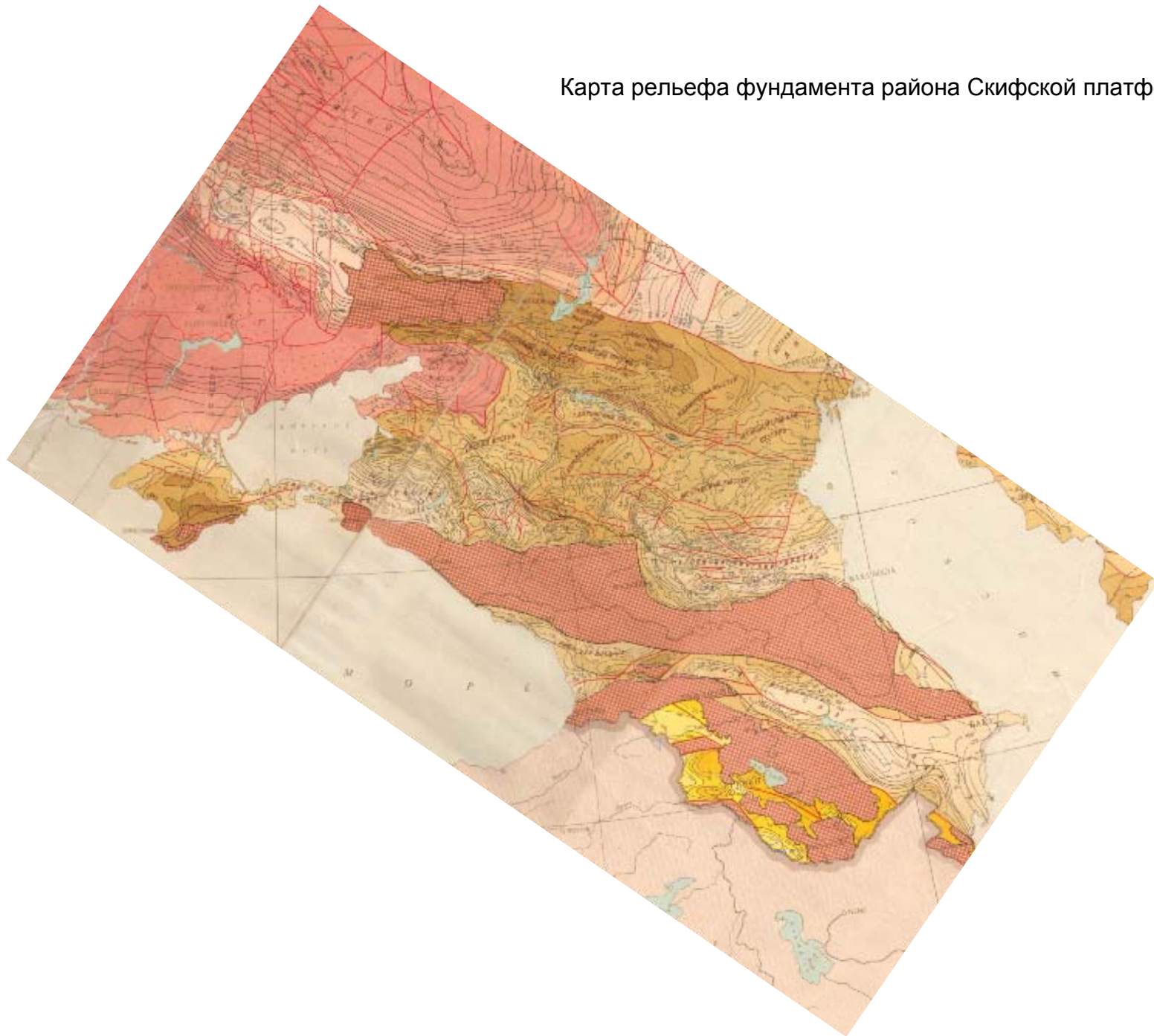


# Скифская платформа



Карта рельефа фундамента района Скифской платформы





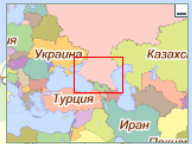


адрес, улица, город или название объекта [Найти]

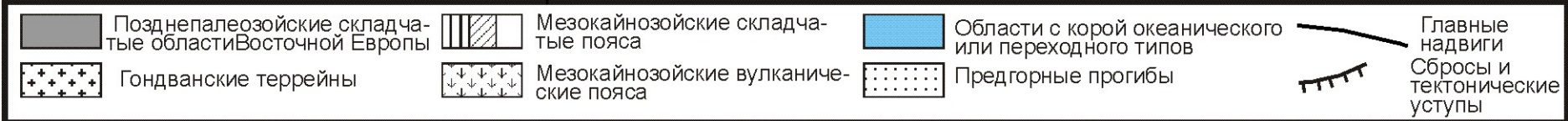
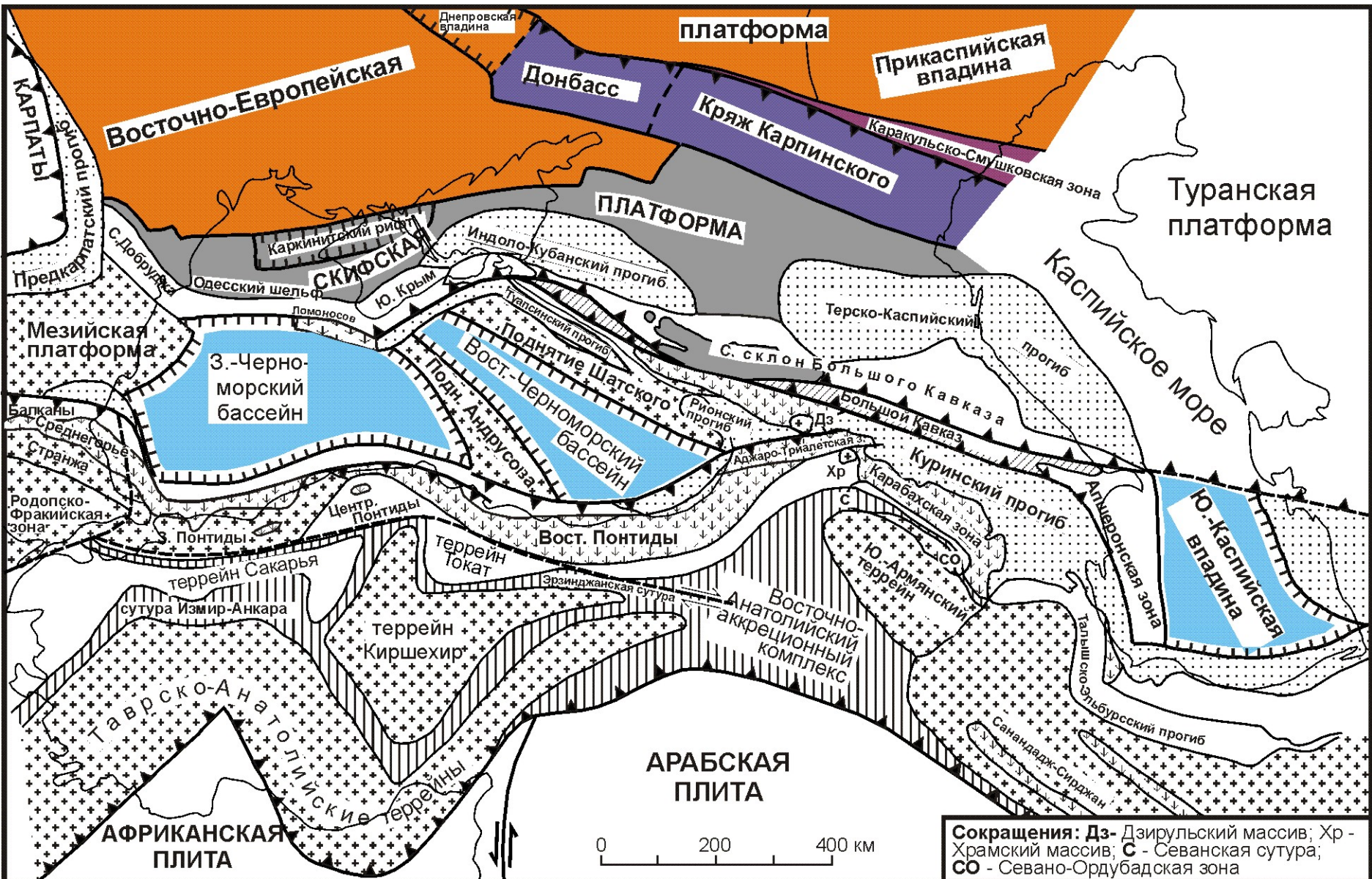


Мобильные карты На Панорамах Гатчины вы найдёте, где погулять и что посмотреть

Зимняя Олимпиада 2010 в Ванкувере Быстрее! Выше! Подробнее! Яндекс





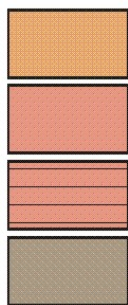




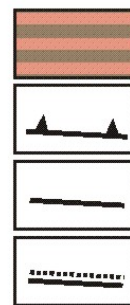


### Условные обозначения

Области с корой:



- континентальной, архейско-раннепротерозойской
- континентальной, позднепротерозойской
- предполагаемая область с корой переходного или океанического типа
- континентальной, позднепалеозойской



- Каракульско-Смушковская зона
- главные, надвиги
- второстепенные, различной морфологии
- тектонно-седиментационные уступы

Рис. 3.1. Тектоническая схема южной части Восточно-Европейской платформы и смежных регионов.

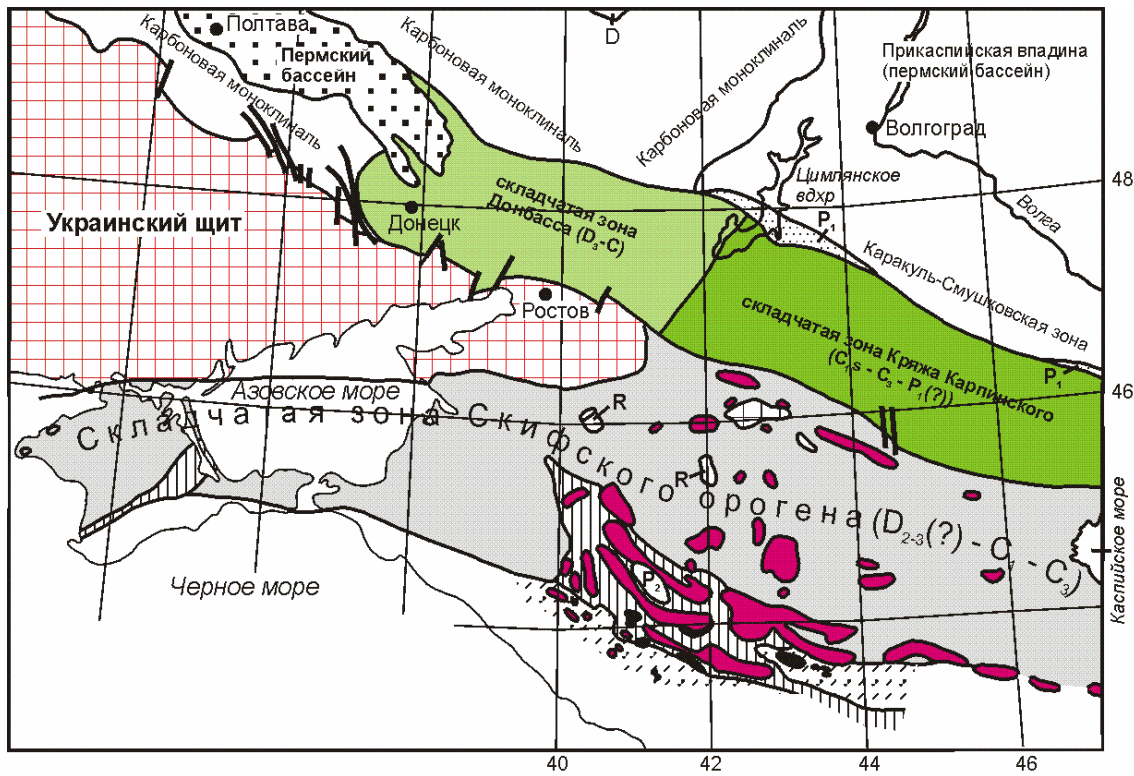
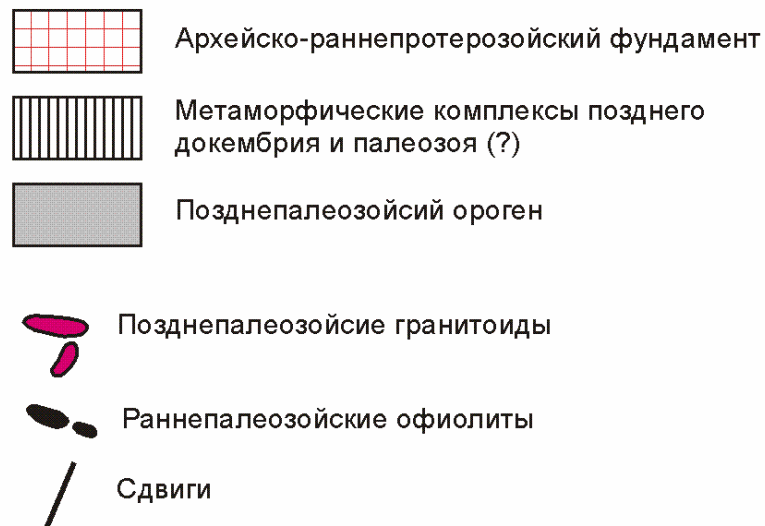
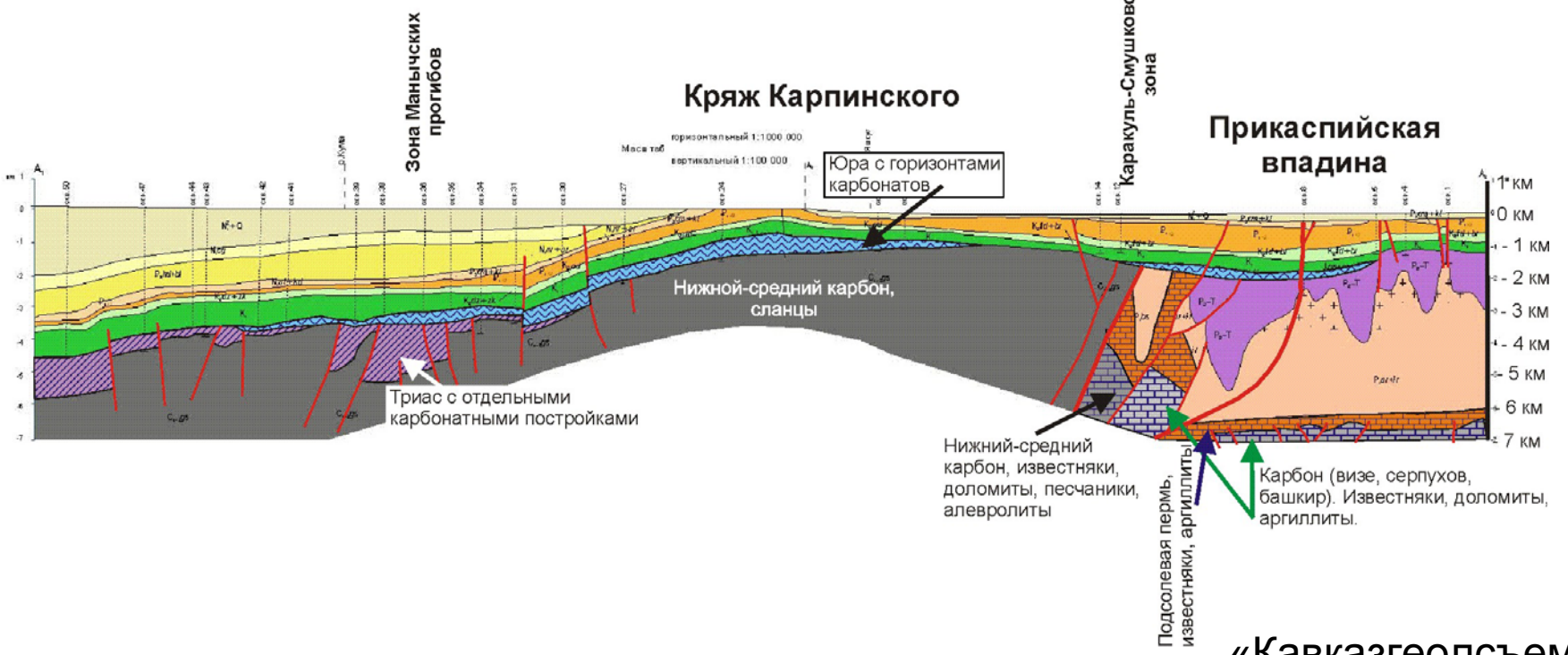
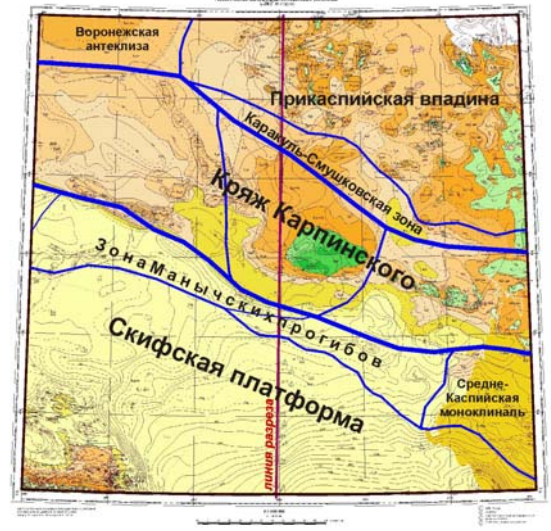


Схема районирования домезозойских структур Скифско-Кавказского региона

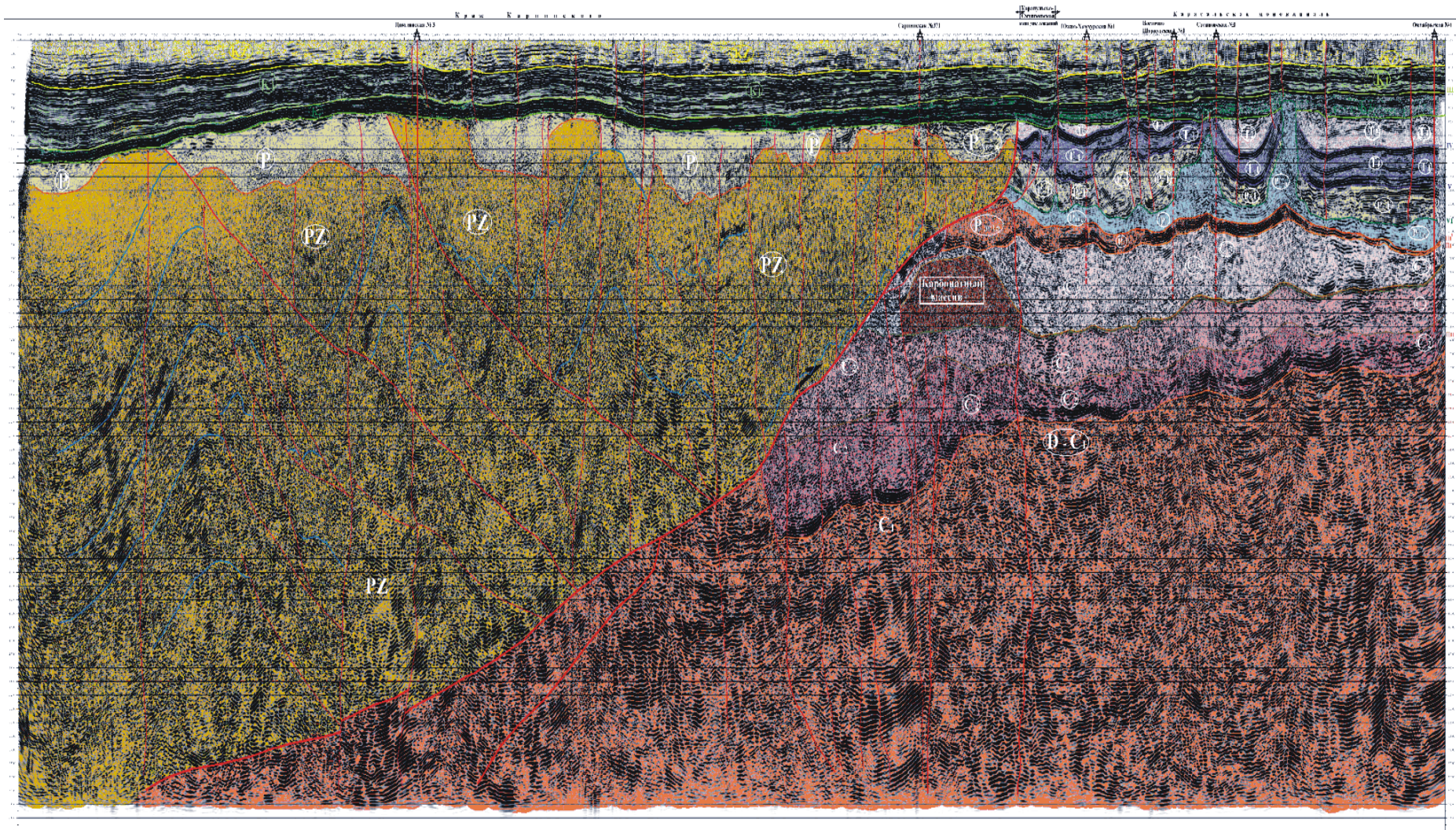






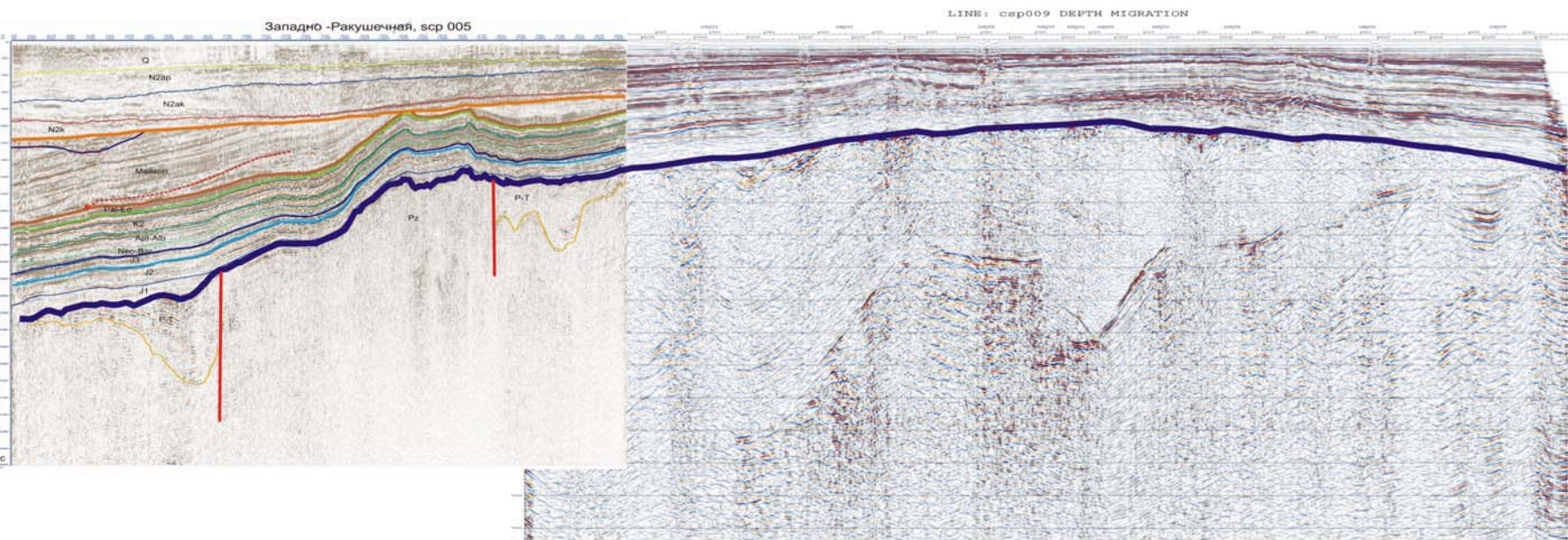
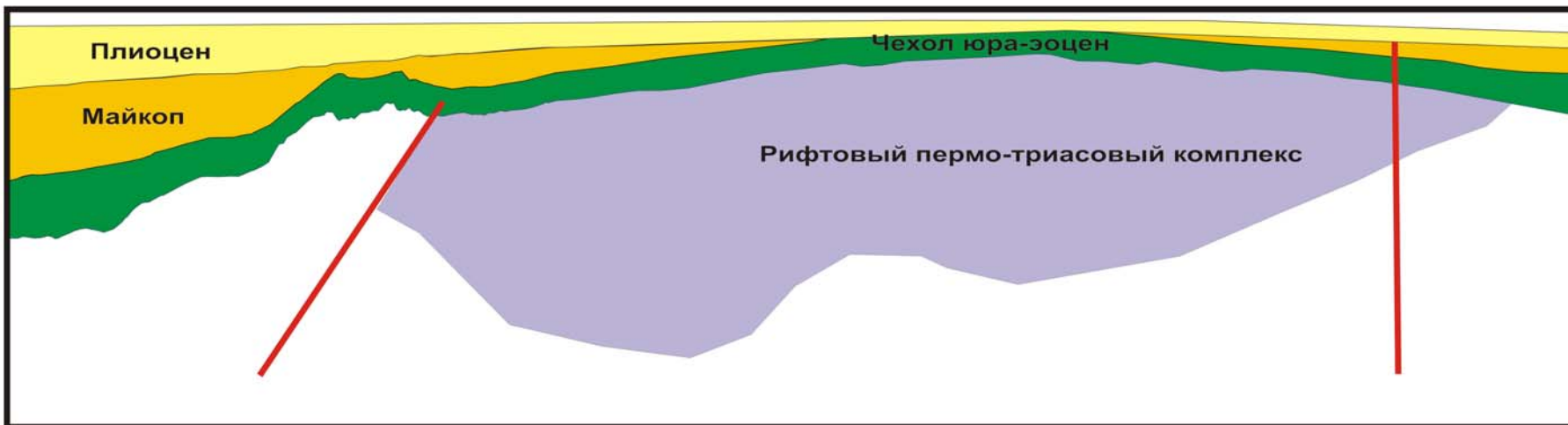


# Строение зоны сочленения кряжа Карпинского и Прикаспийского бассейна



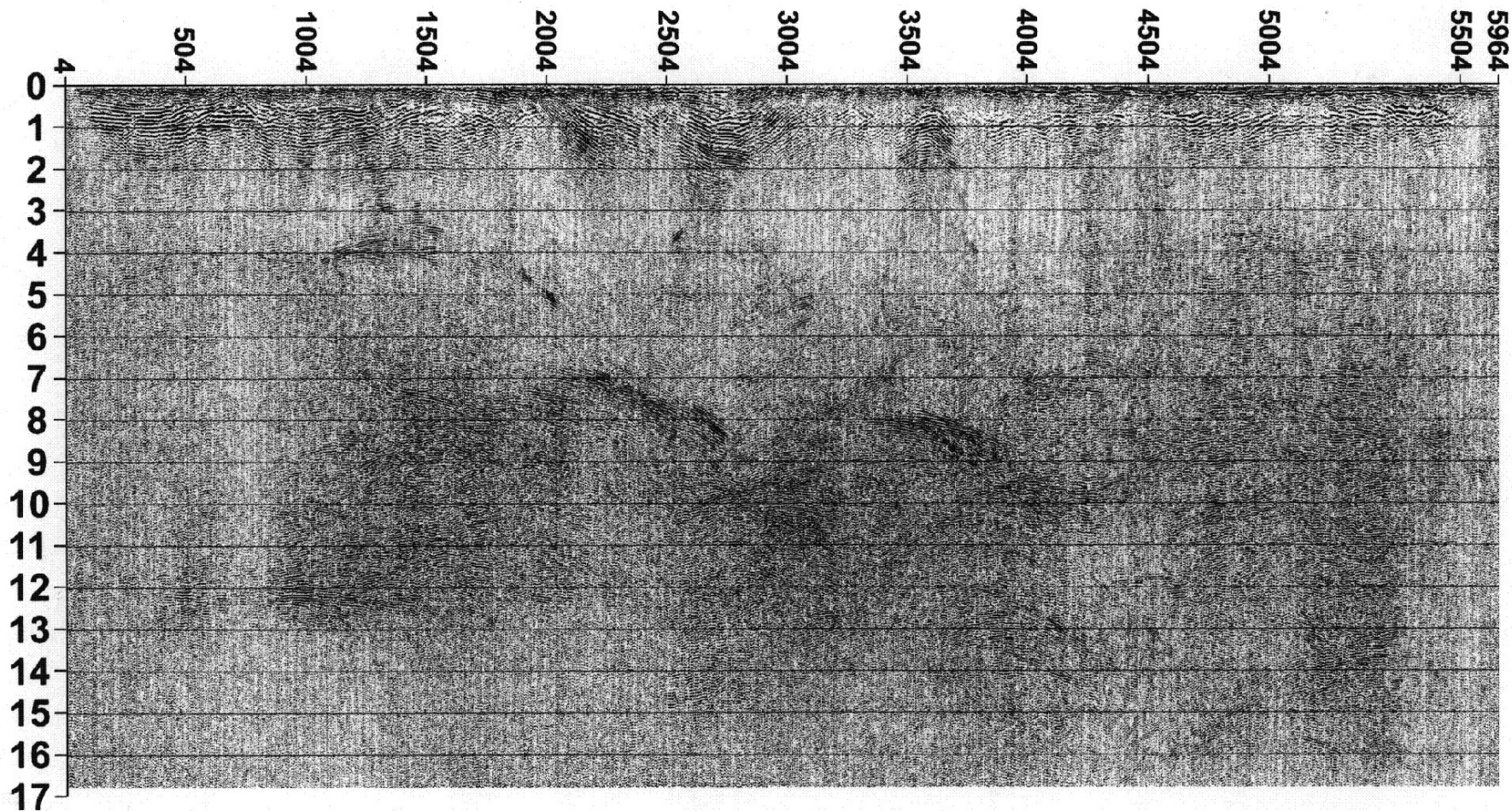


# СХЕМАТИЧЕСКИЙ РАЗРЕЗ КУЛАЛИНСКОГО ВАЛА



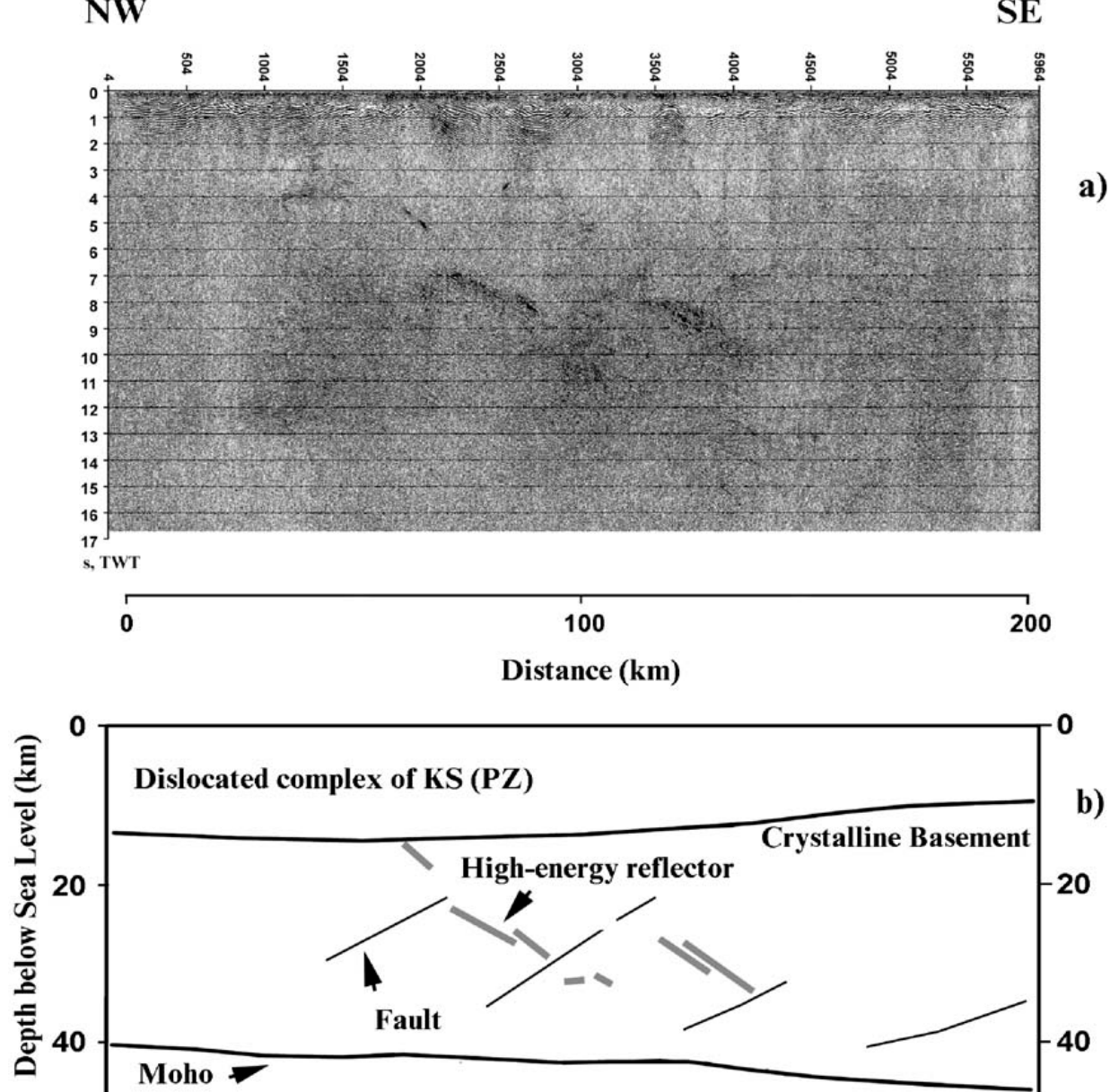
А.М. Никишин





Временной разрез земной коры кряжа Карпинского по профилю г. Морозовск - Эльбрус (участок Волгодонск - Маньчское)  
ГЕОН, 2002

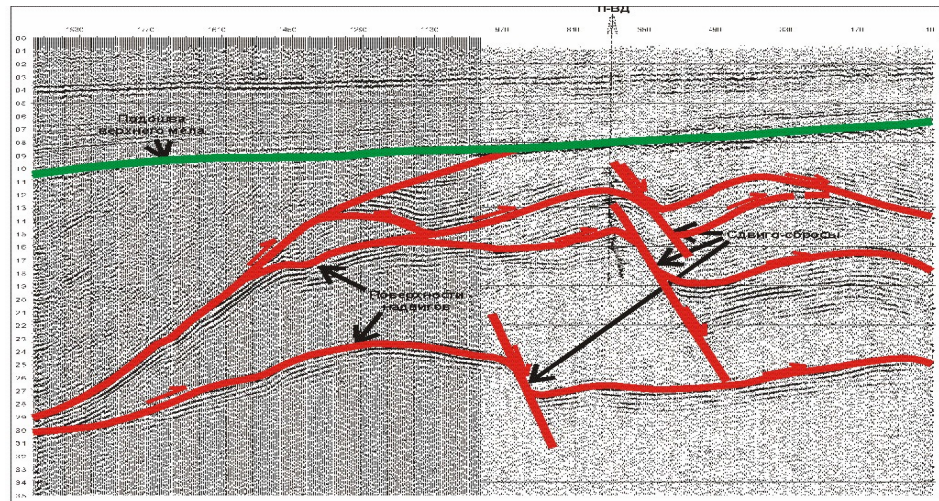
С.Л. Костюченко



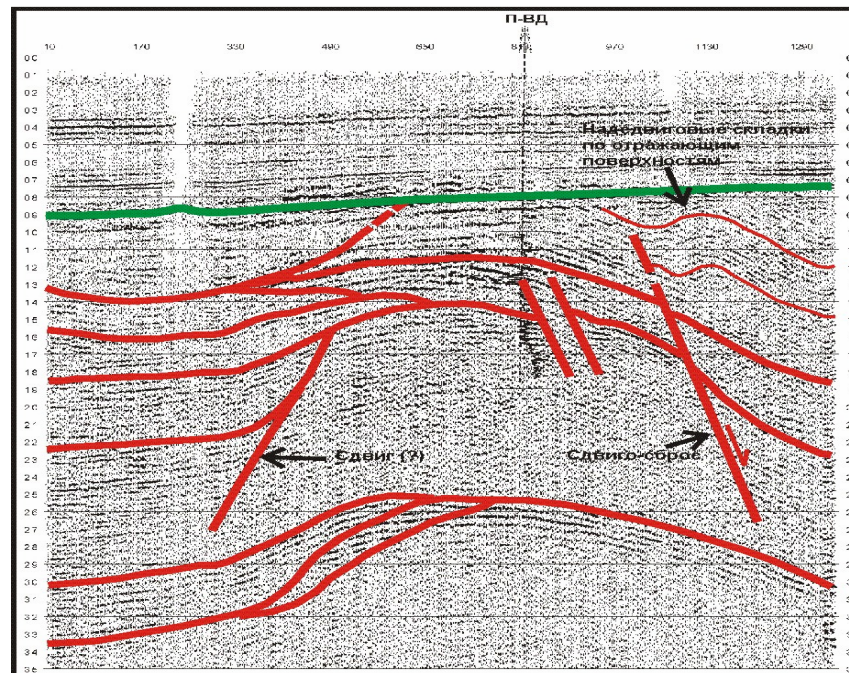
(a) CDP stack and (b) its interpretation across the KS along Morozovsk–Manich profile (thick portion of line 4 in Fig. 1). The position of the boundary between the Palaeozoic (PZ) complex and crystalline basement is derived from coincident DSS data.



# Кряж Карпинского



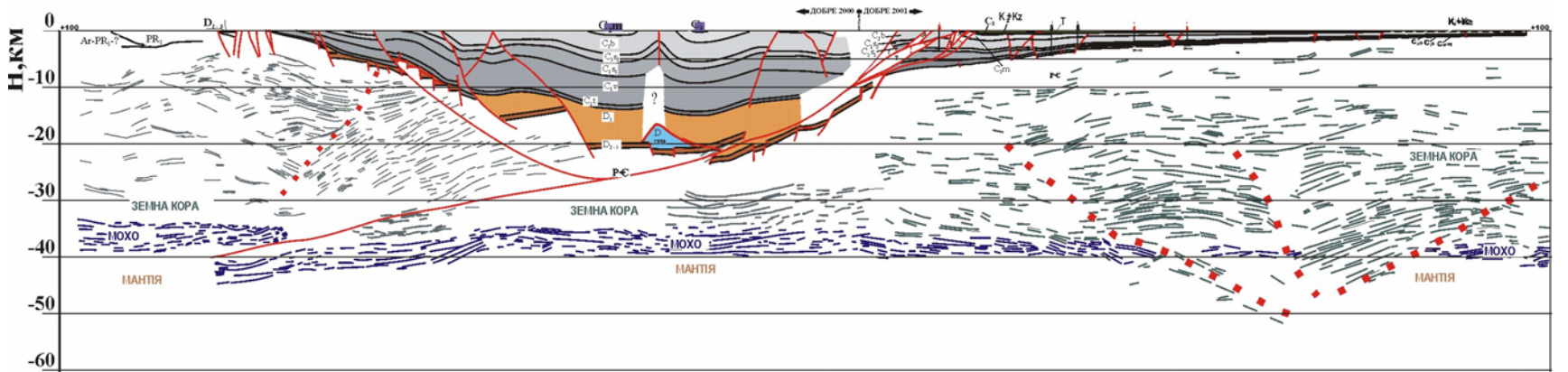
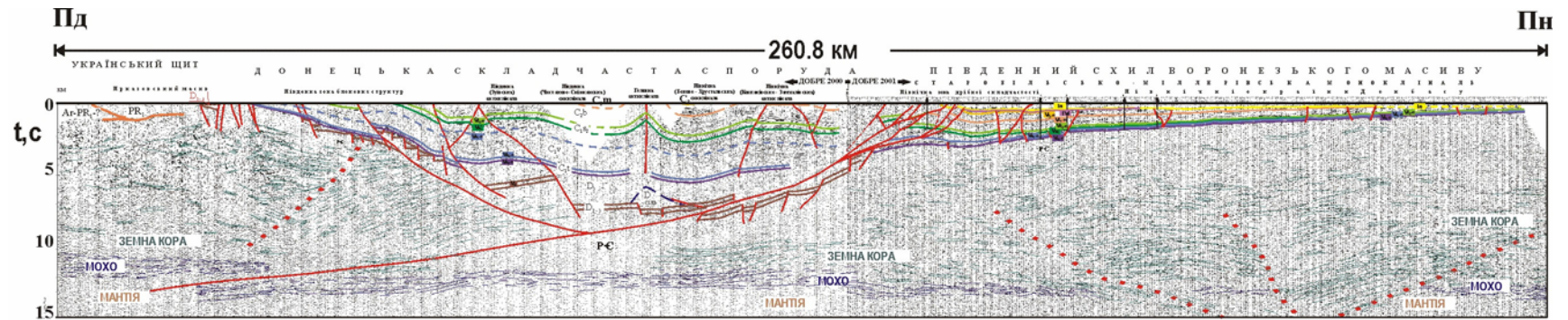
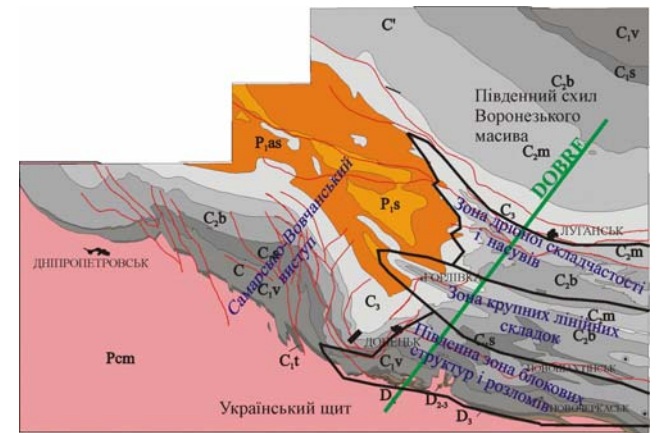
Временной разрез по профилю 020223. Направления смещений по разломам показаны стрелками.



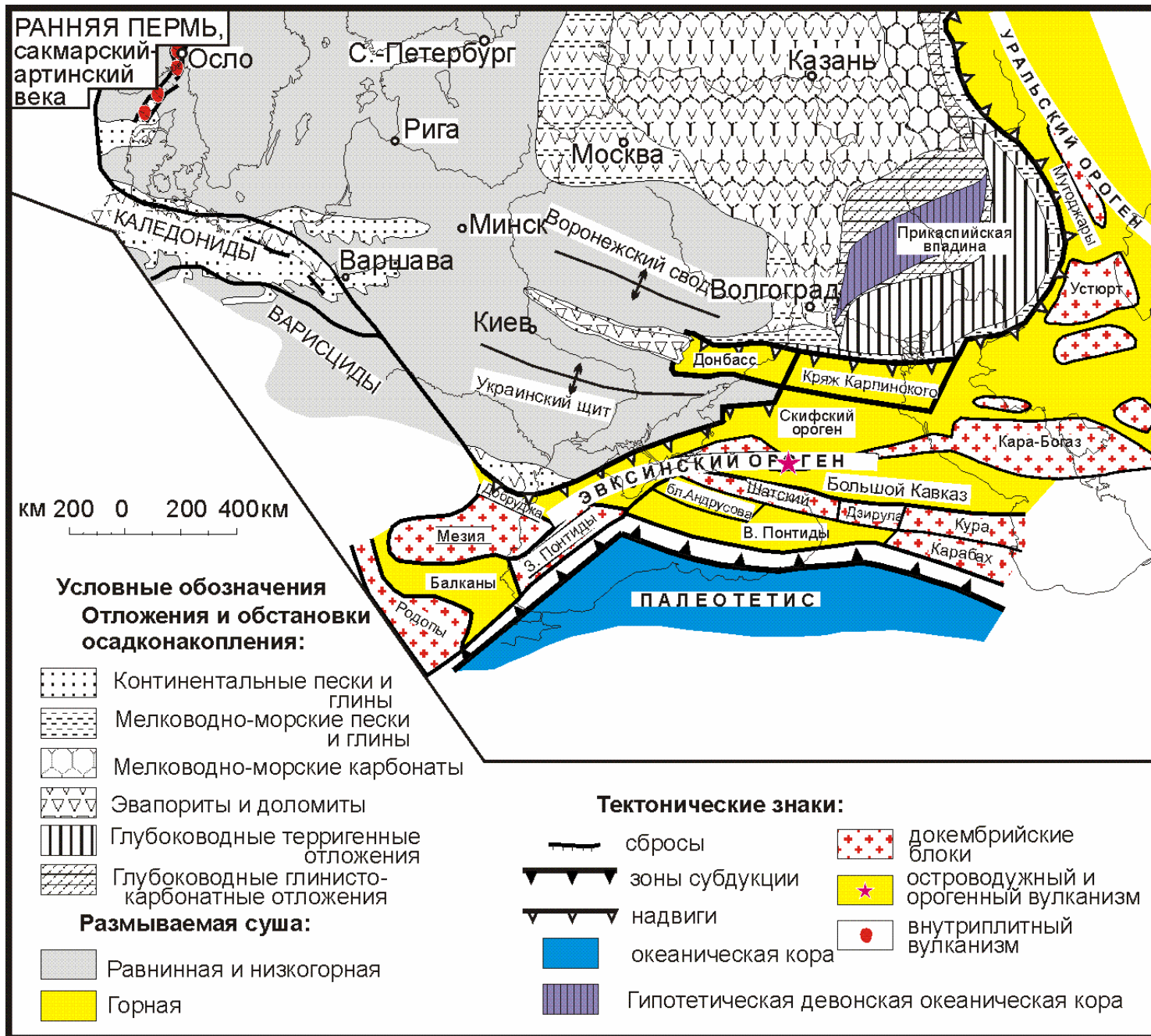
Временной разрез по профилю 020324. Смещения по надвигам - вкрест простирания профиля.



# Донбасс



С.Н. Стовба и др.





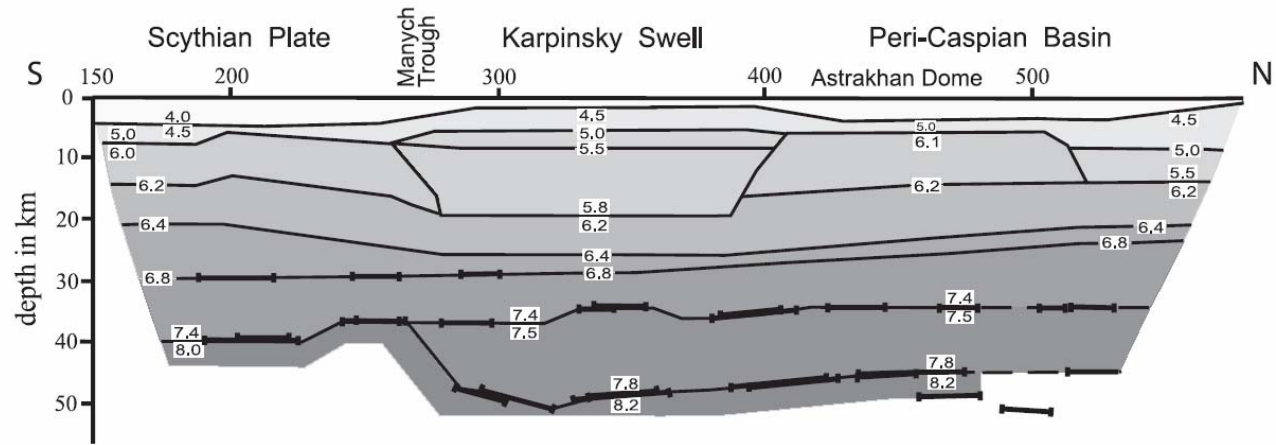


Fig. 11. Velocity model on part of the Nakhichevan–Volgograd DSS profile crossing the Scythian Plate–Karpinsky Swell–Peri-Caspian Basin (thick line labelled NV in previous figures). Velocities are in  $\text{km s}^{-1}$ . Thick subhorizontal lines indicate reflectors.

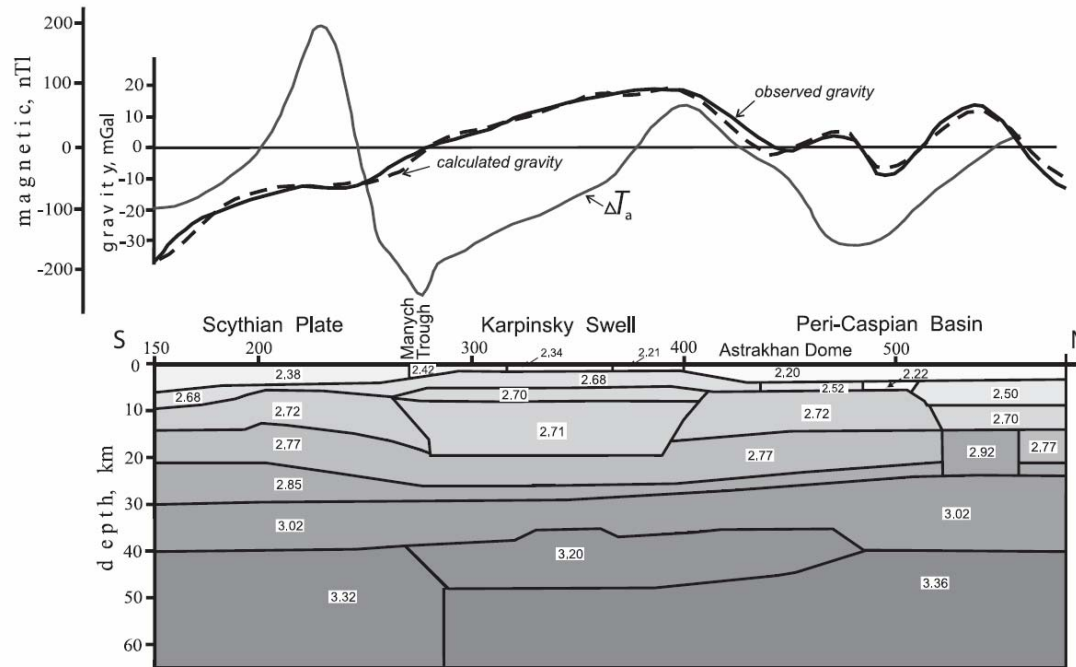


Fig. 12. Density model corresponding to the velocity model shown in Fig. 11. Densities are in  $10^{-3} \text{ kg m}^{-3}$ .



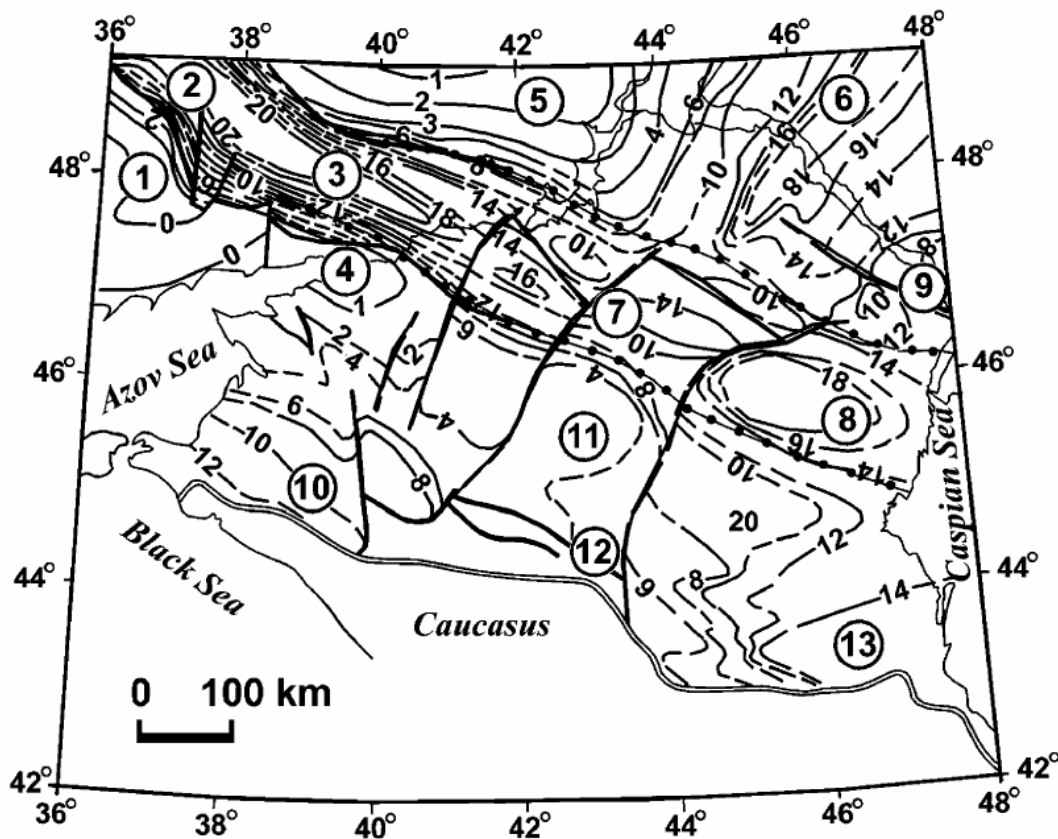


Fig. 10. Depth to basement as discussed in the text. Depth contours (in km) are continuous where well established and dashed where they are interpolated. Thick line shows the fault. Thin dotted line indicates the recent shape of the Karpinsky Swell. Doubled line displays the boundary of Caucasus. Numeric legend: 1=Ukrainian Shield, 2=Dniepr–Donets Rift, 3=Donbas Foldbelt, 4=Rostov High, 5=Voronezh Massif, 6=Precaspian Basin, 7=Volgodonsk–Elistian portion of the Karpinsky Swell (KS), 8=Tsubuk–Promislovian portion of KS, 9=Astrakhan dome, 10=Indol–Kuban foredeep, 11=Stavropol High, 12=Mineralnie Vody Dome, 13=Tersk–Caspian foredeep.

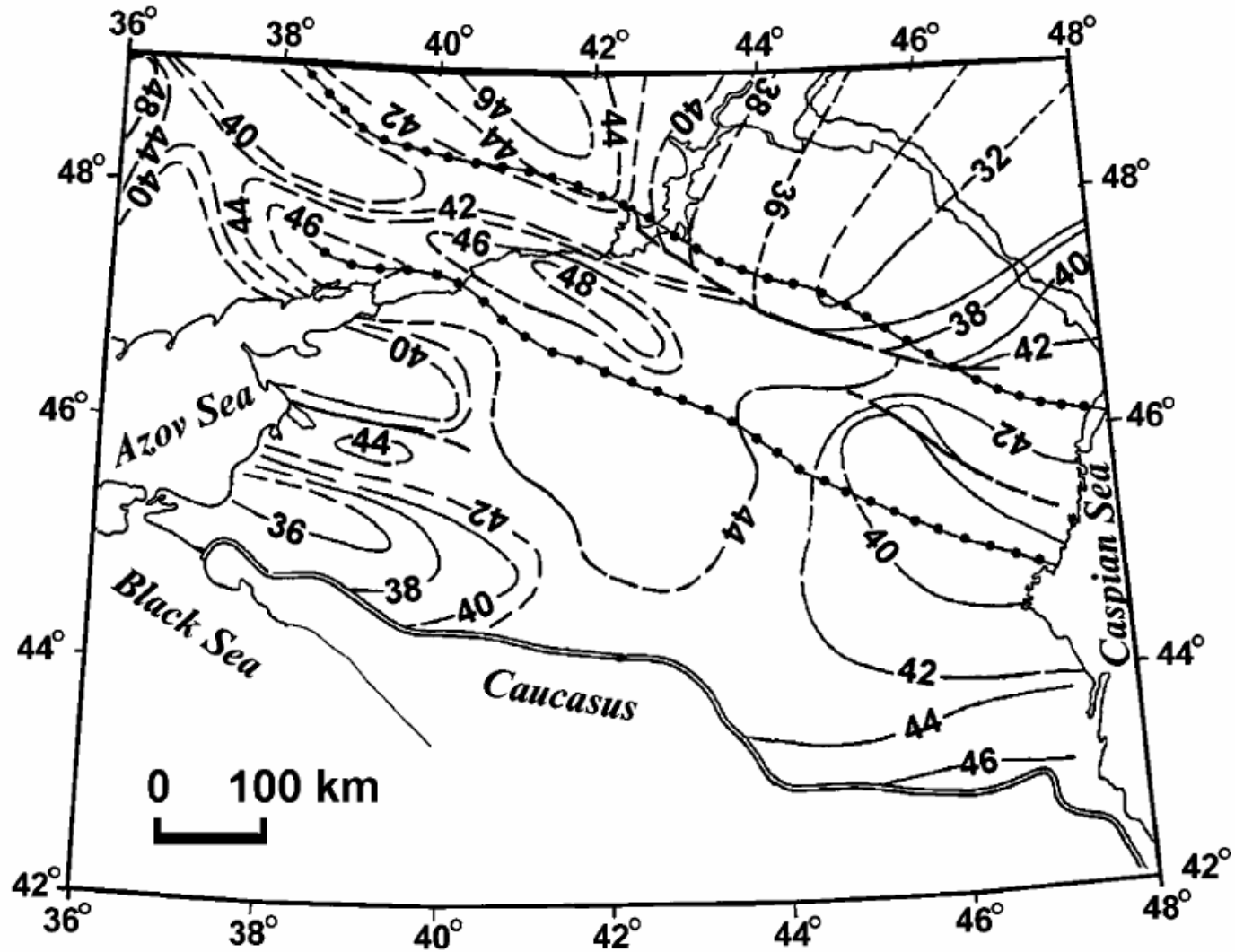


Fig. 11. Depth to Moho (km); legend as in Fig. 10.

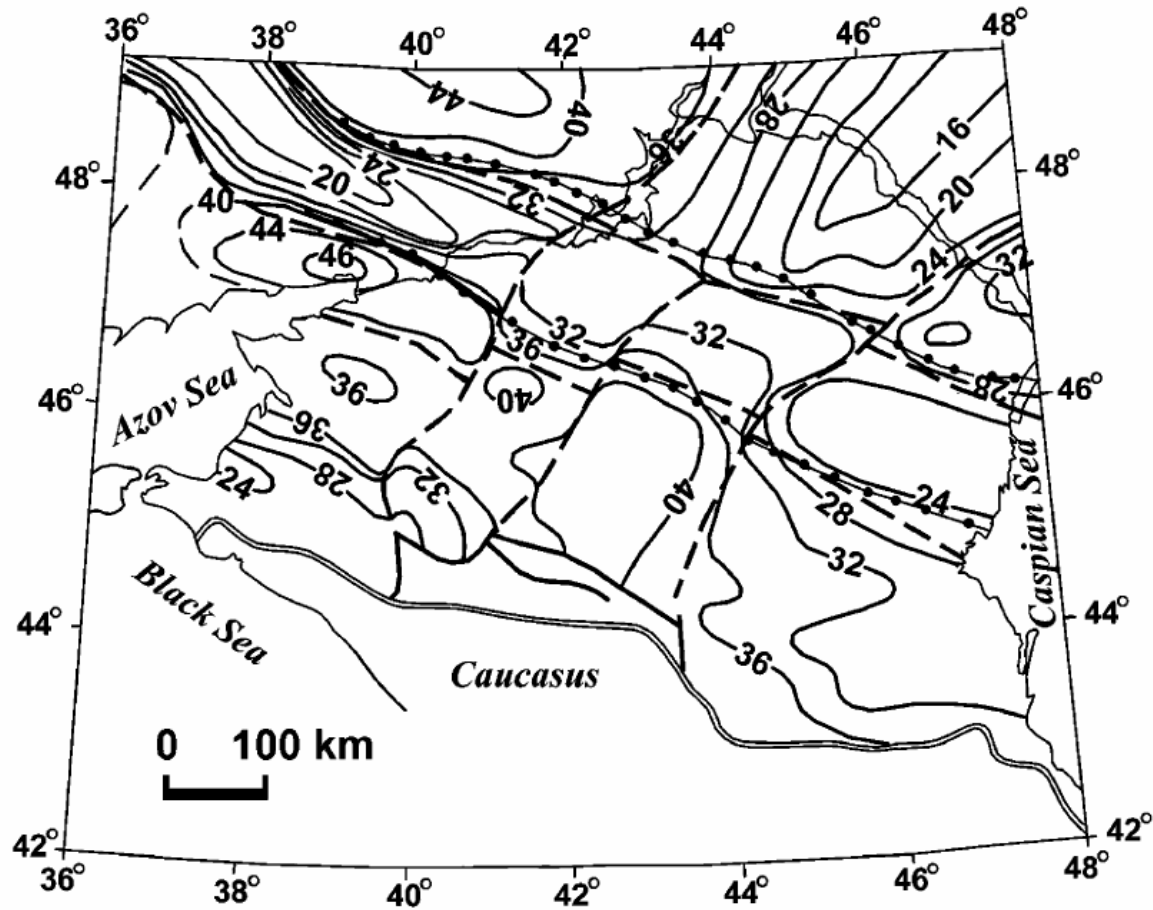
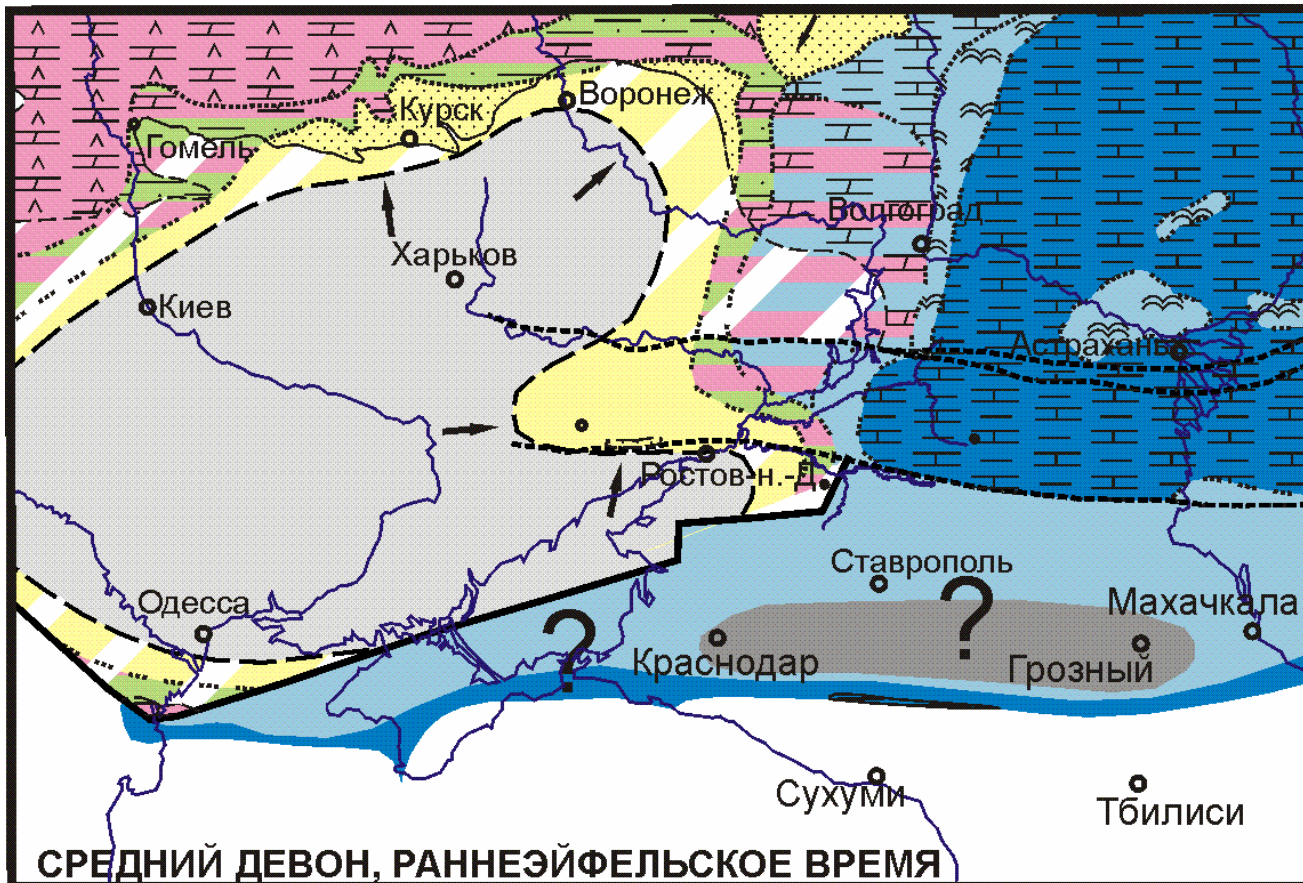
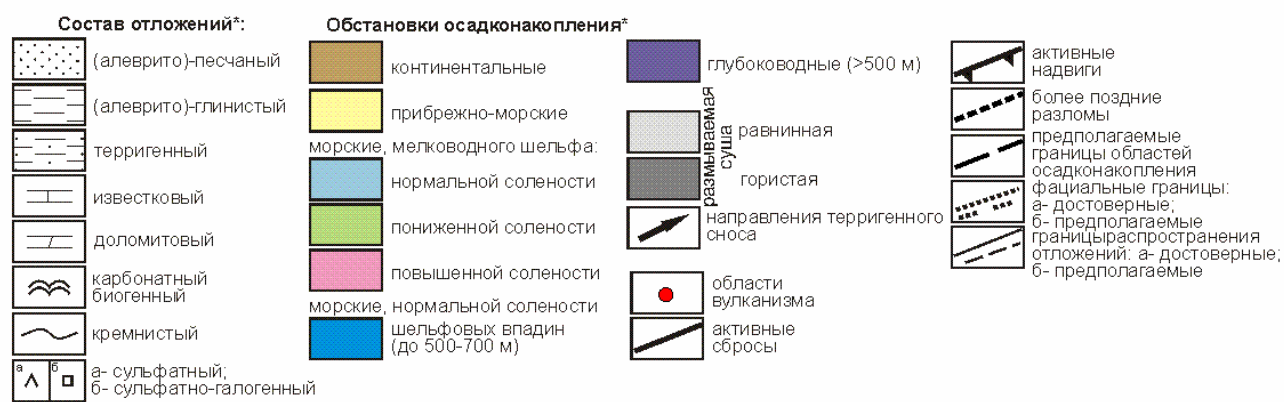


Fig. 12. Thickness of crystalline crust (km). Dashed lines shows boundaries between what are inferred to be different crystalline crustal blocks; otherwise the legend is the same as for Fig. 10.



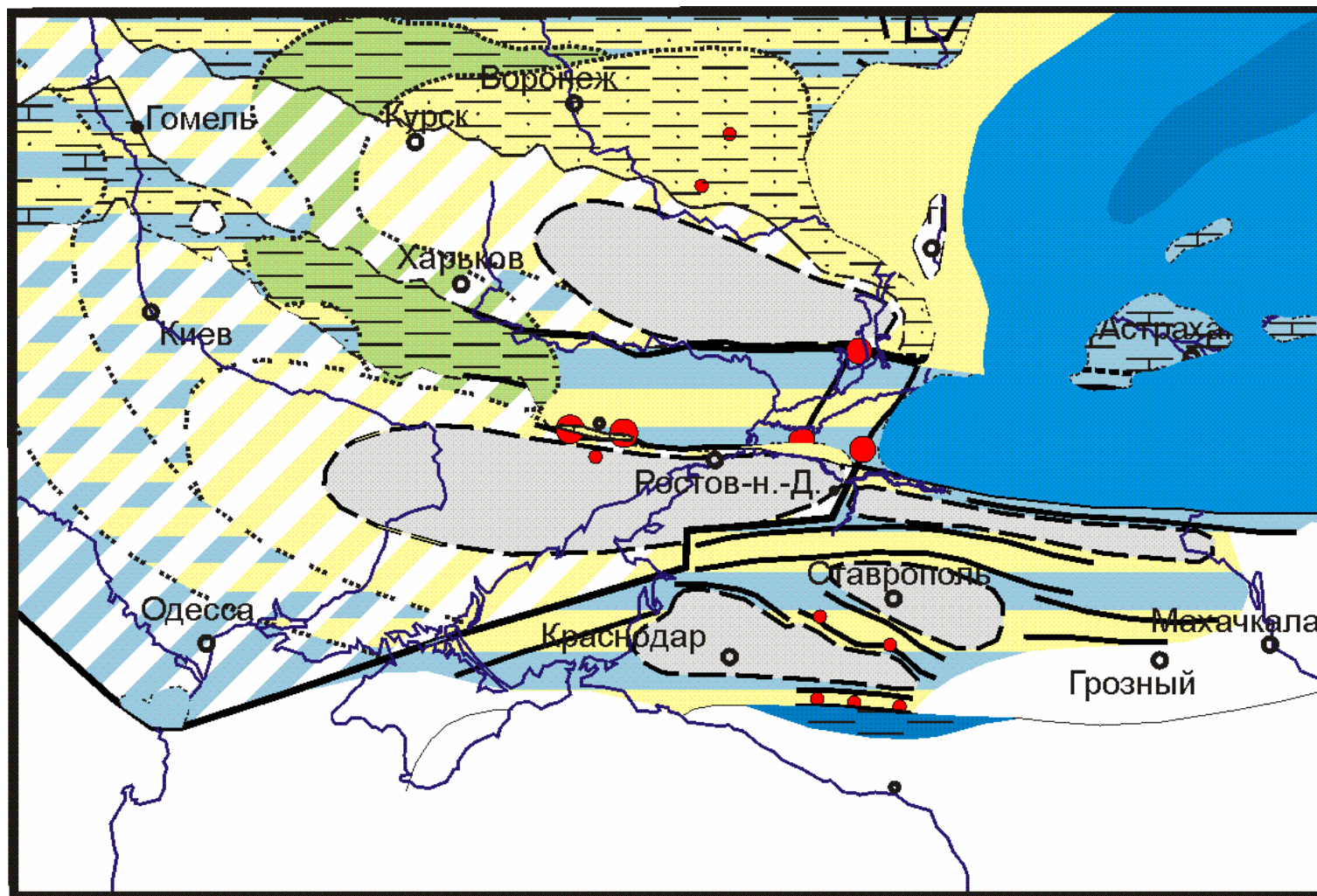


**СРЕДНИЙ ДЕВОН, РАННЕЭЙФЕЛЬСКОЕ ВРЕМЯ**

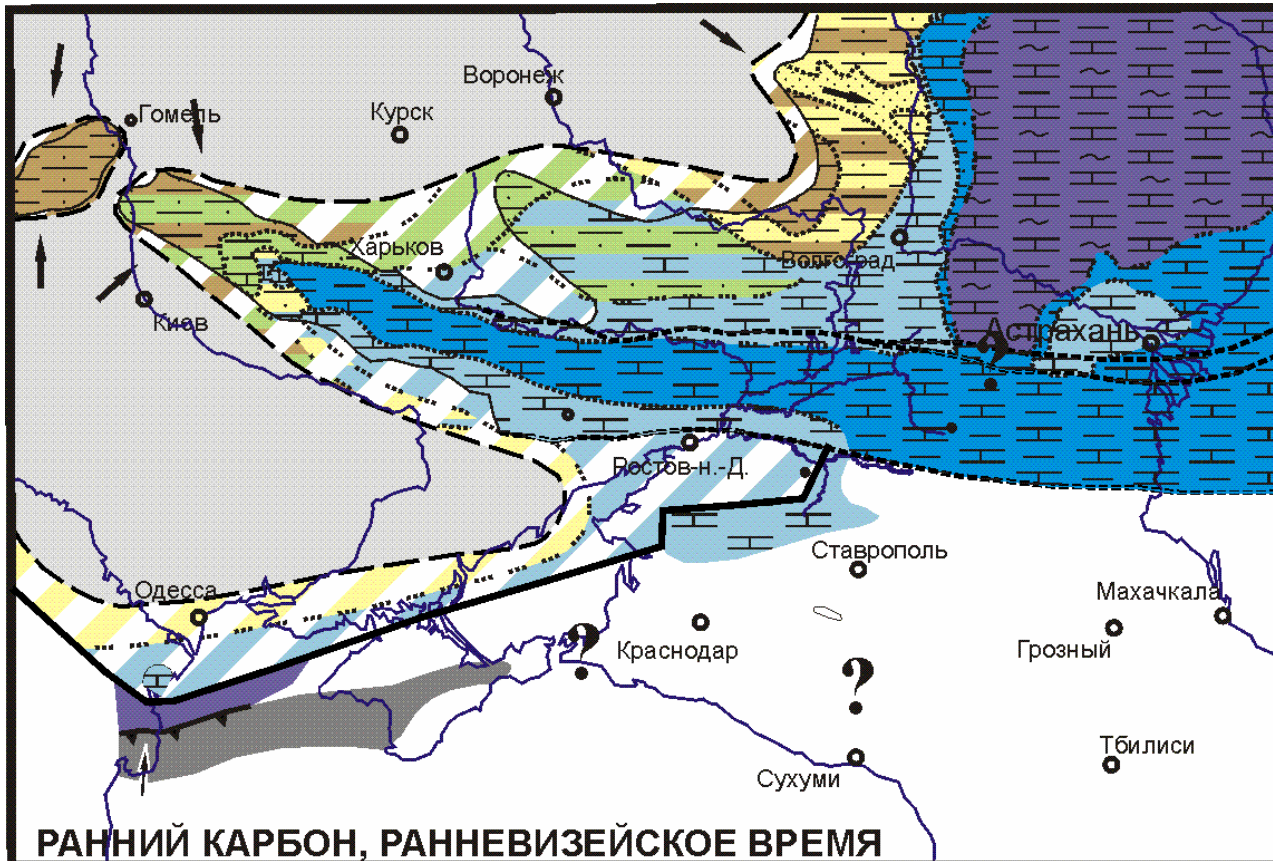


\* Совмещенные крапы предполагают наличие отложений разного литологического состава

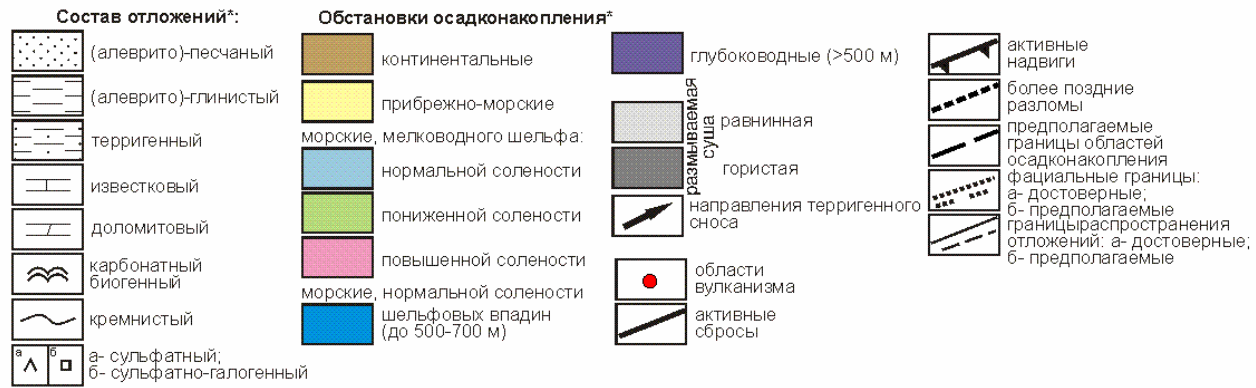
# Ранний фран





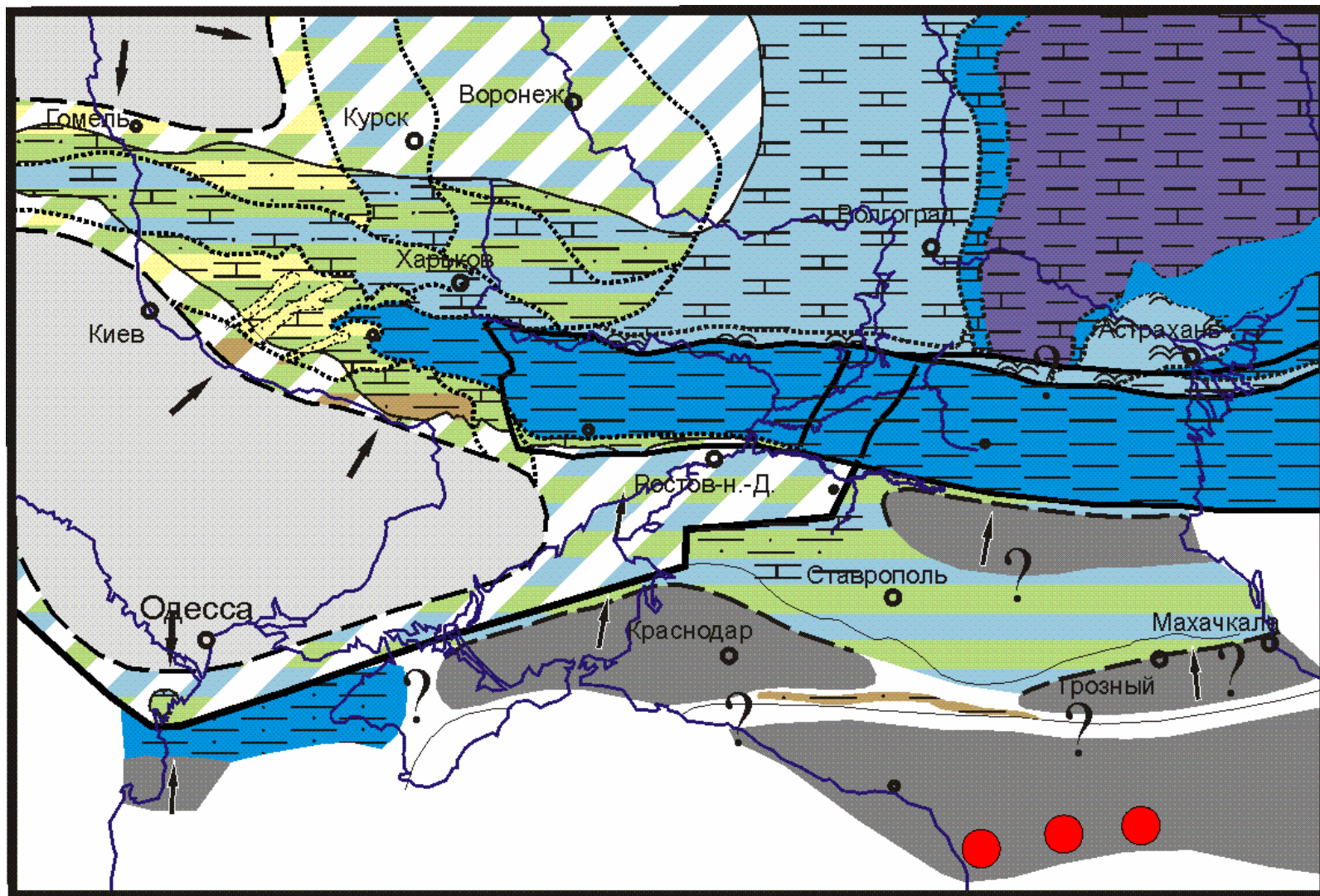


## РАННИЙ КАРБОН, РАННЕВИЗЕЙСКОЕ ВРЕМЯ



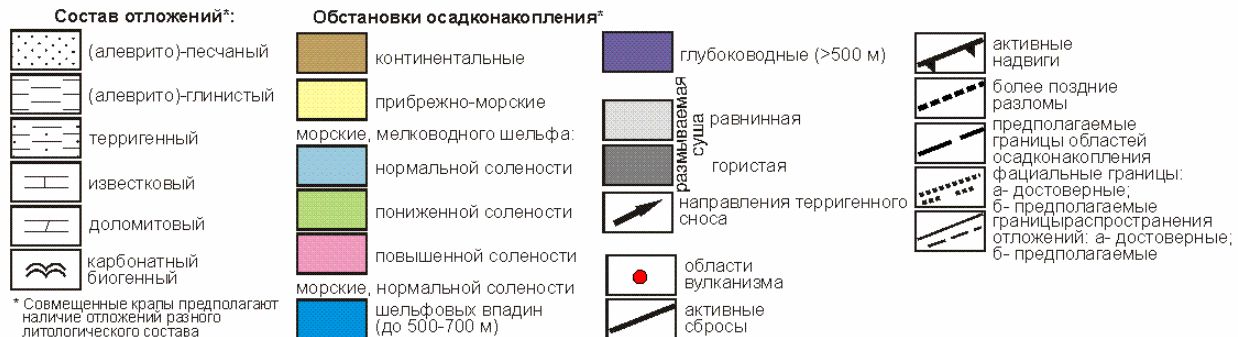
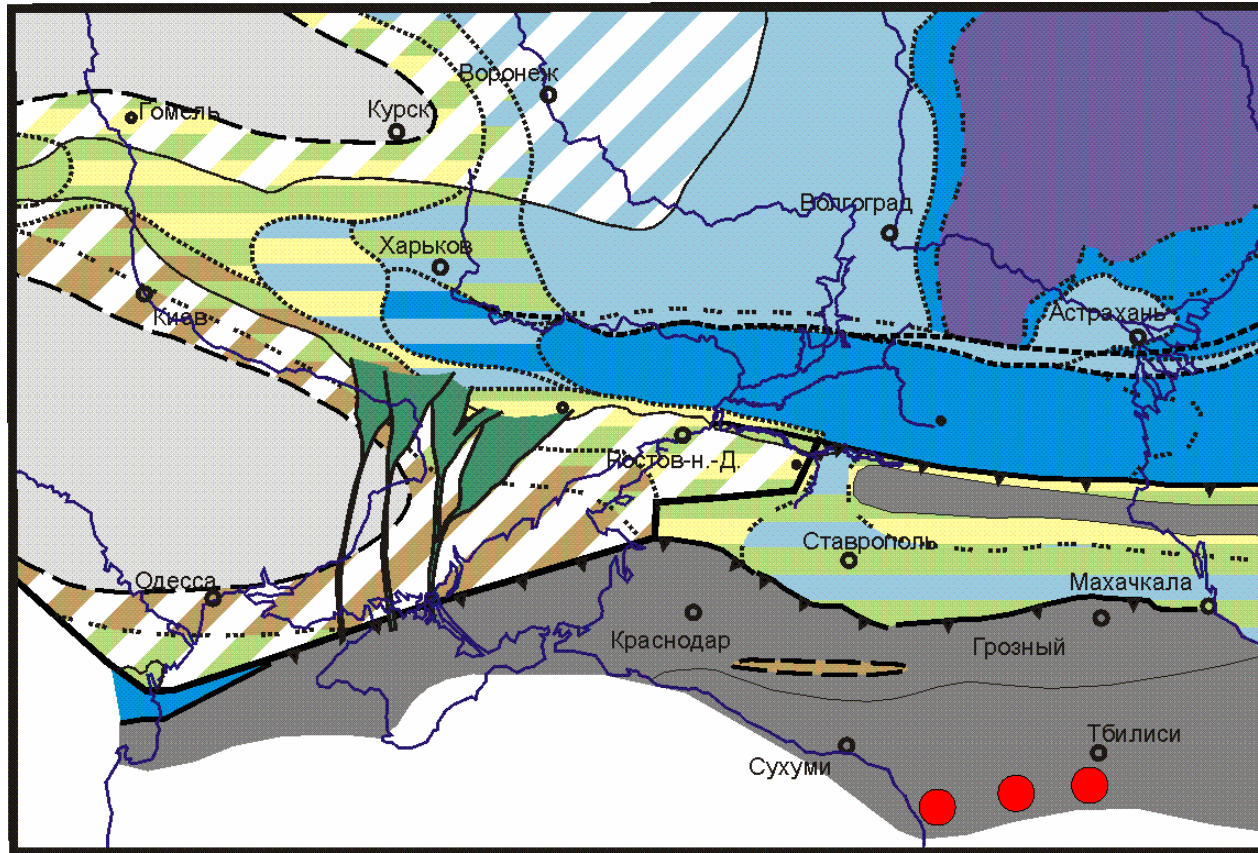
\* Совмещенные края предполагают наличие отложений разного литологического состава

# Поздний визе

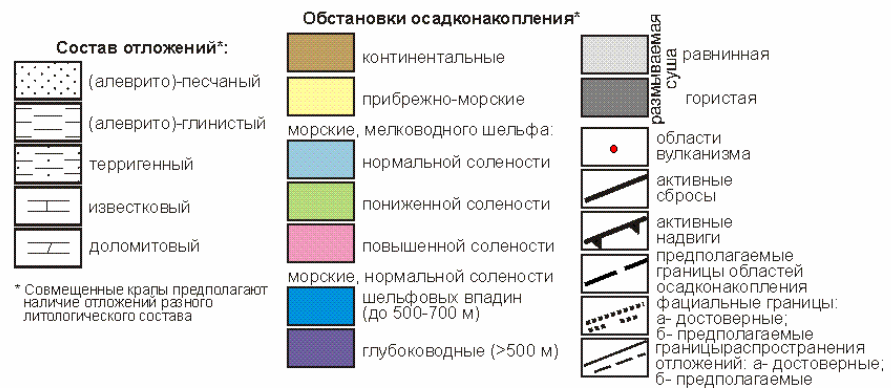
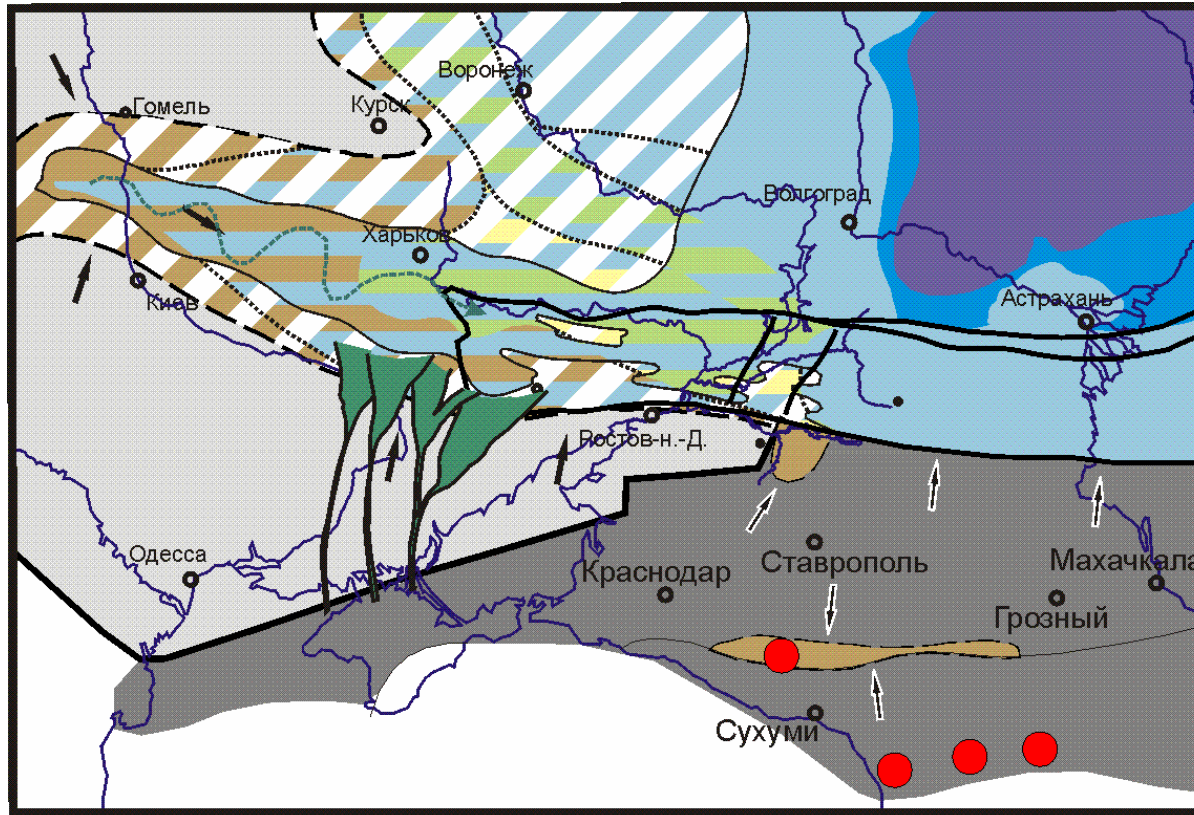




# Серпухов

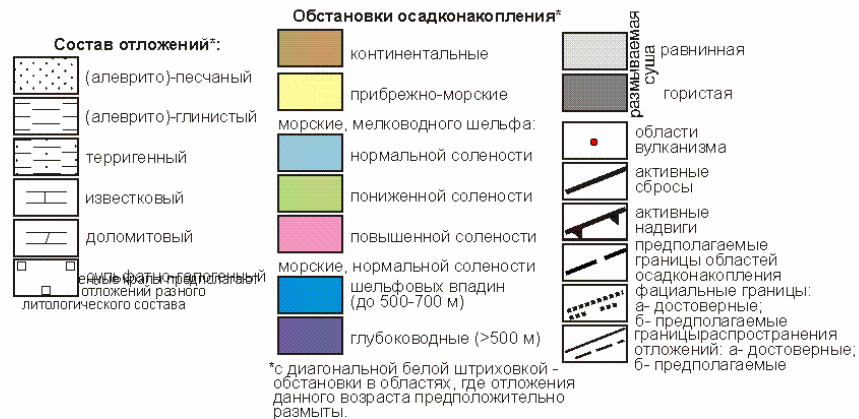
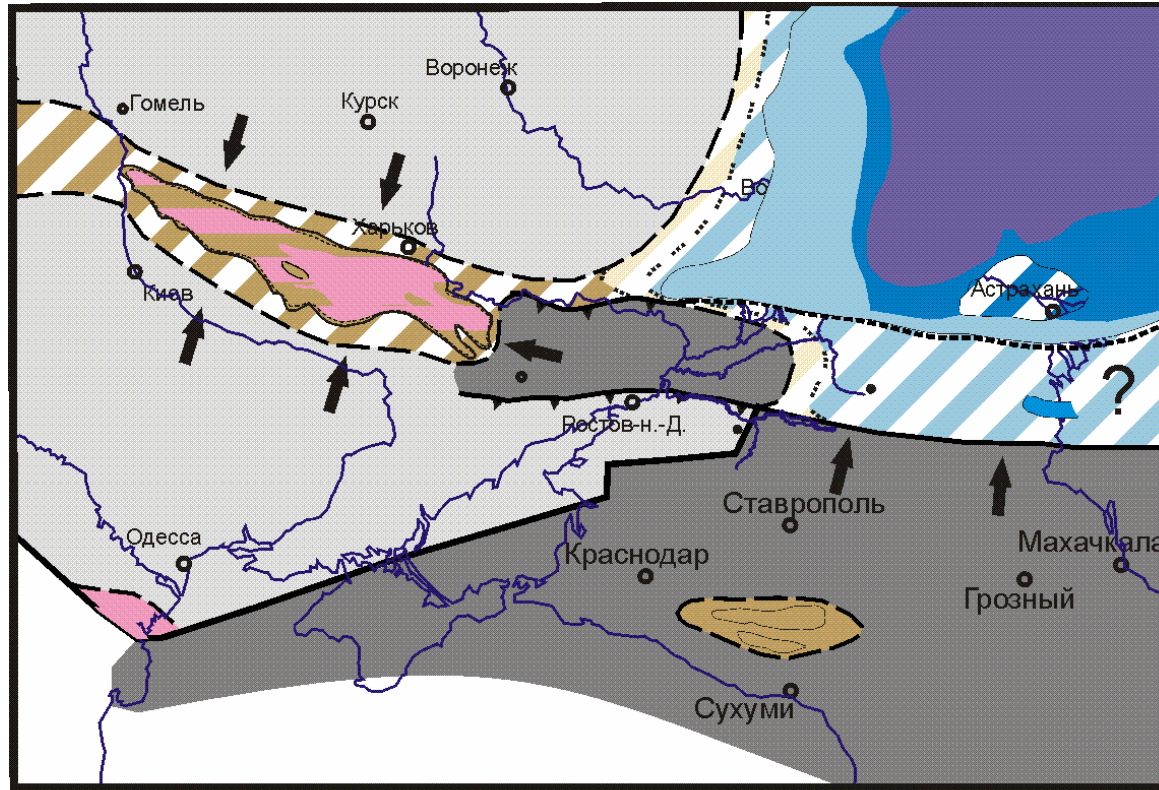


# Московский

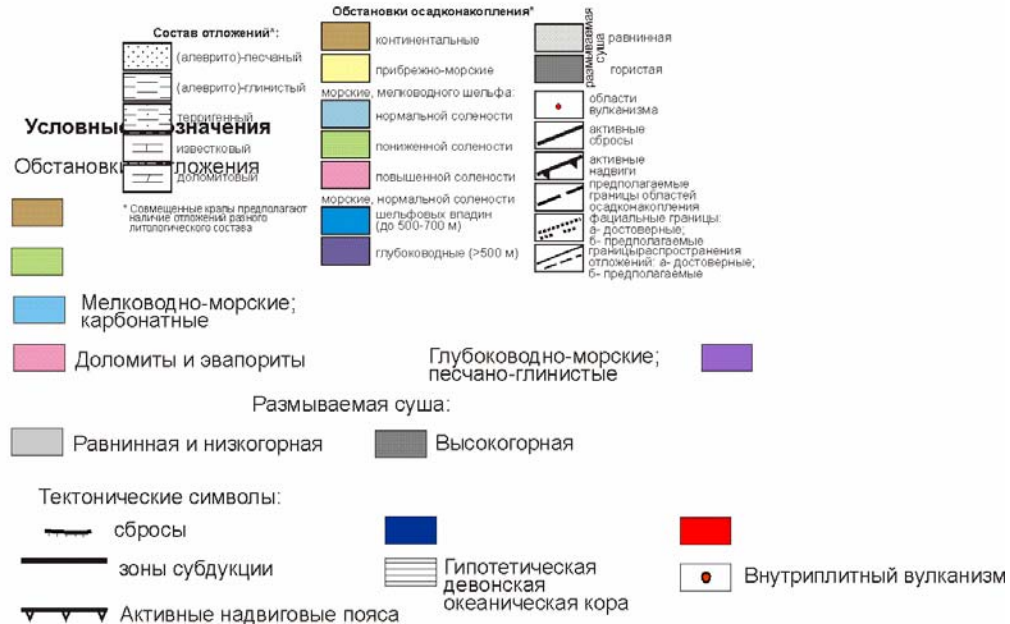
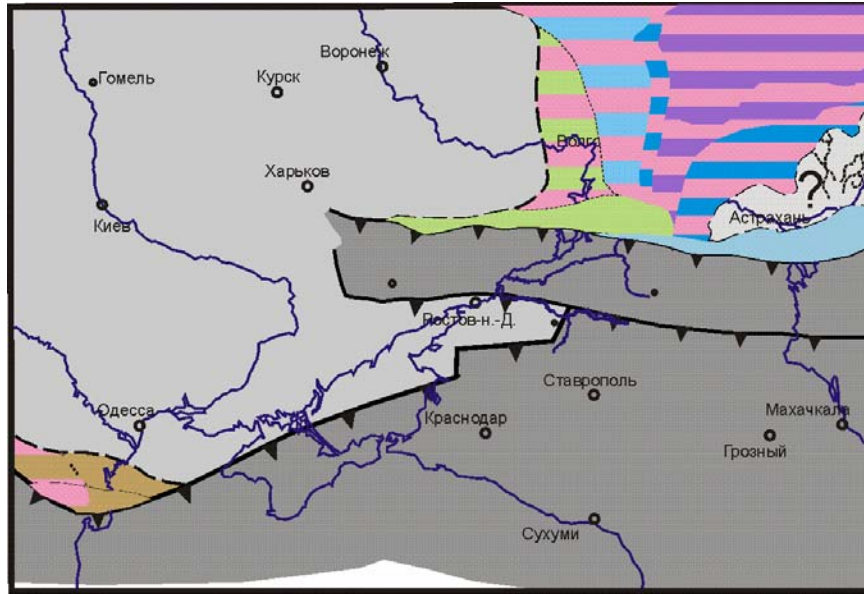




# Ассель

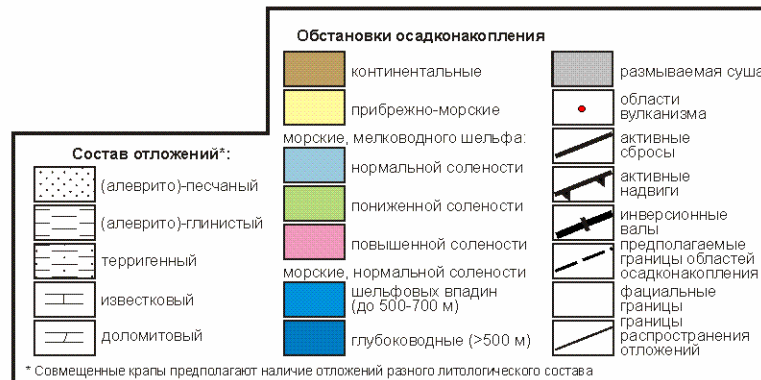
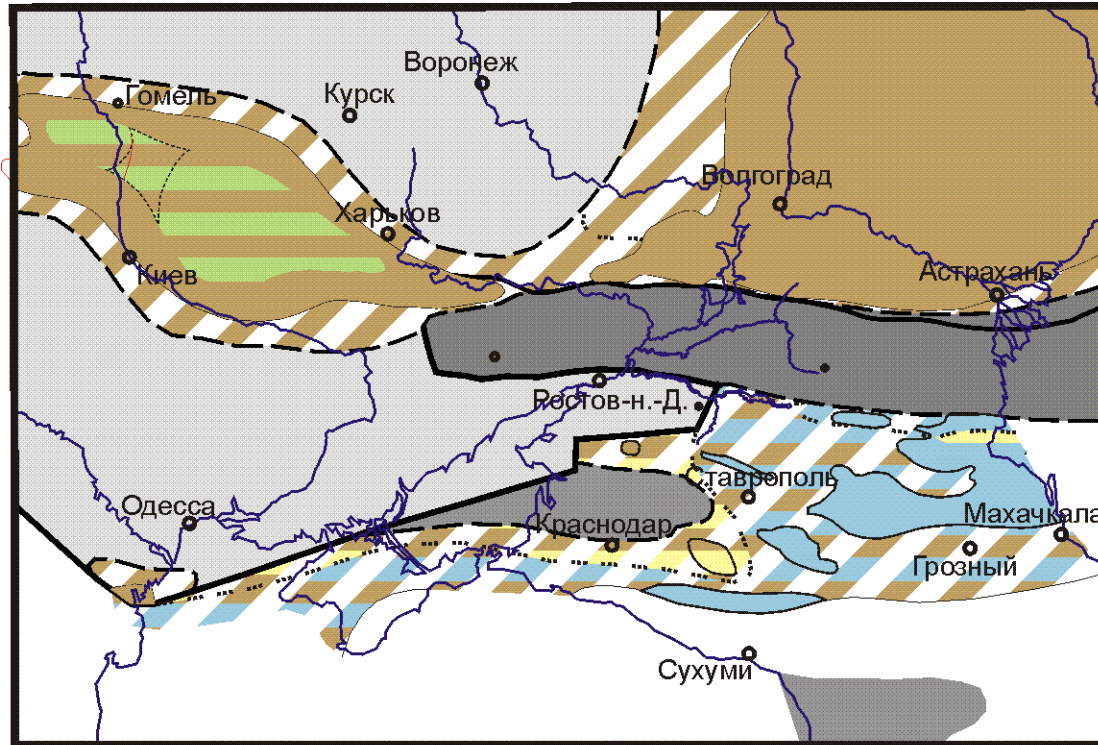


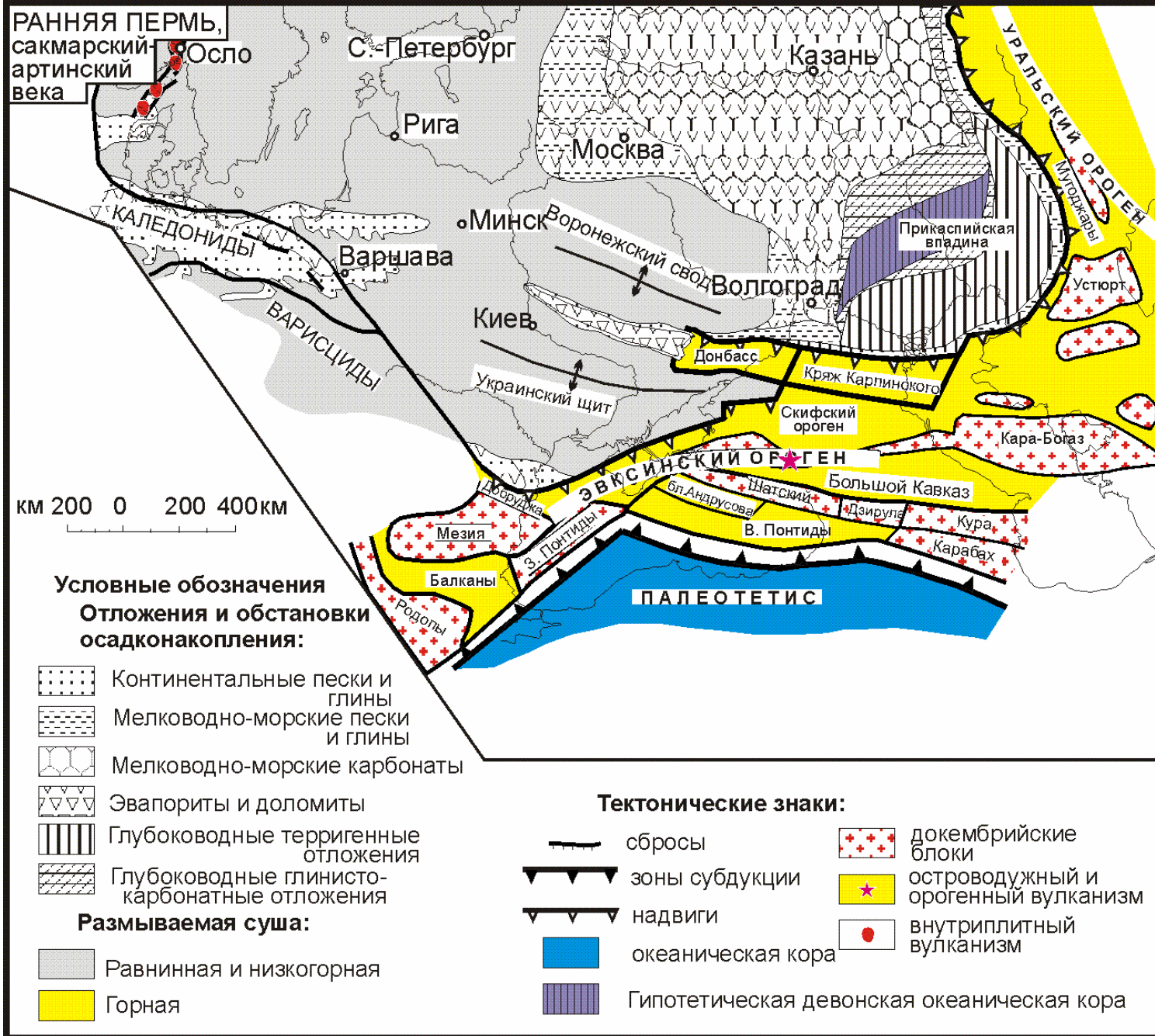
# Артинский





# Татарский







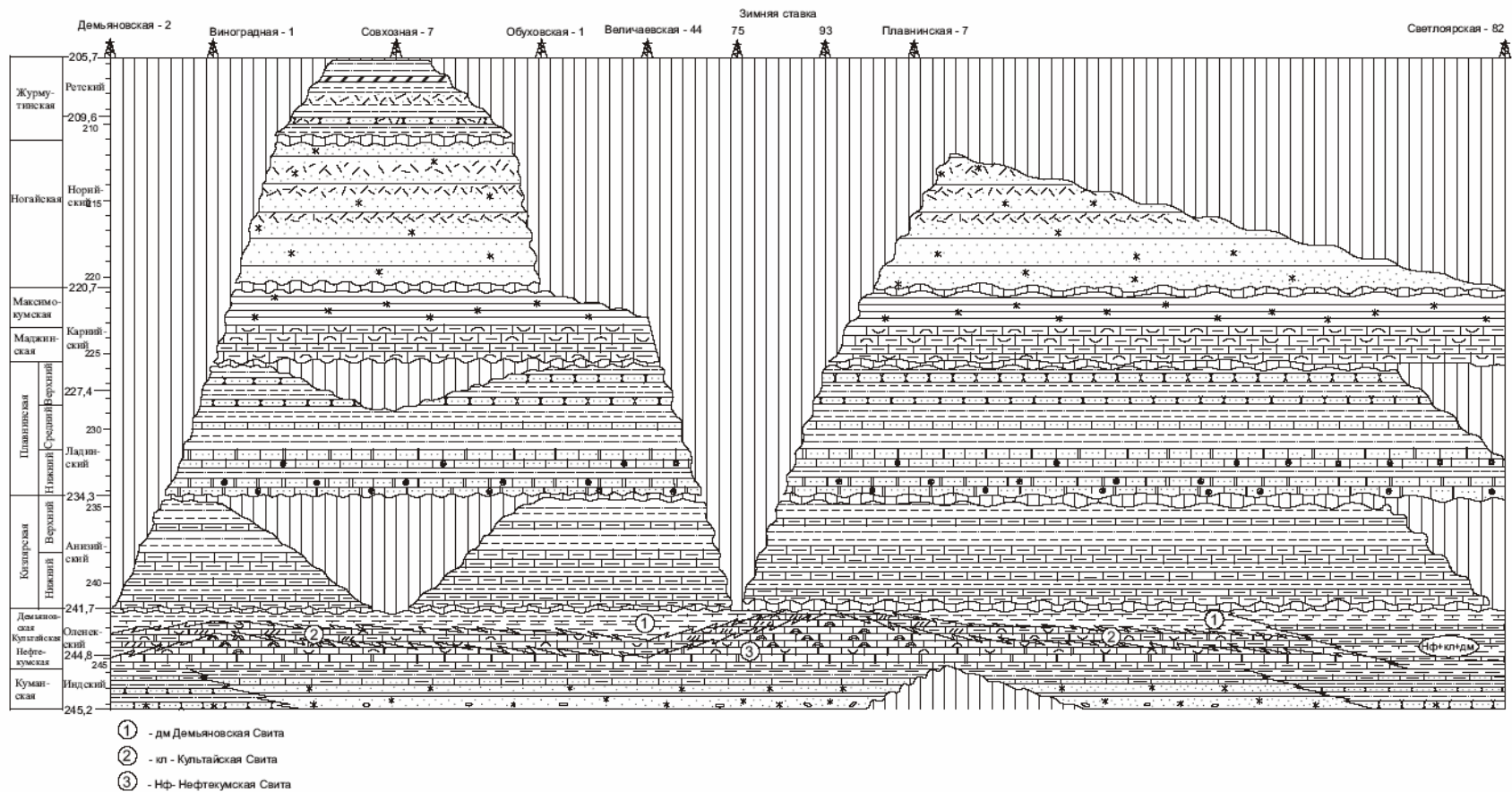








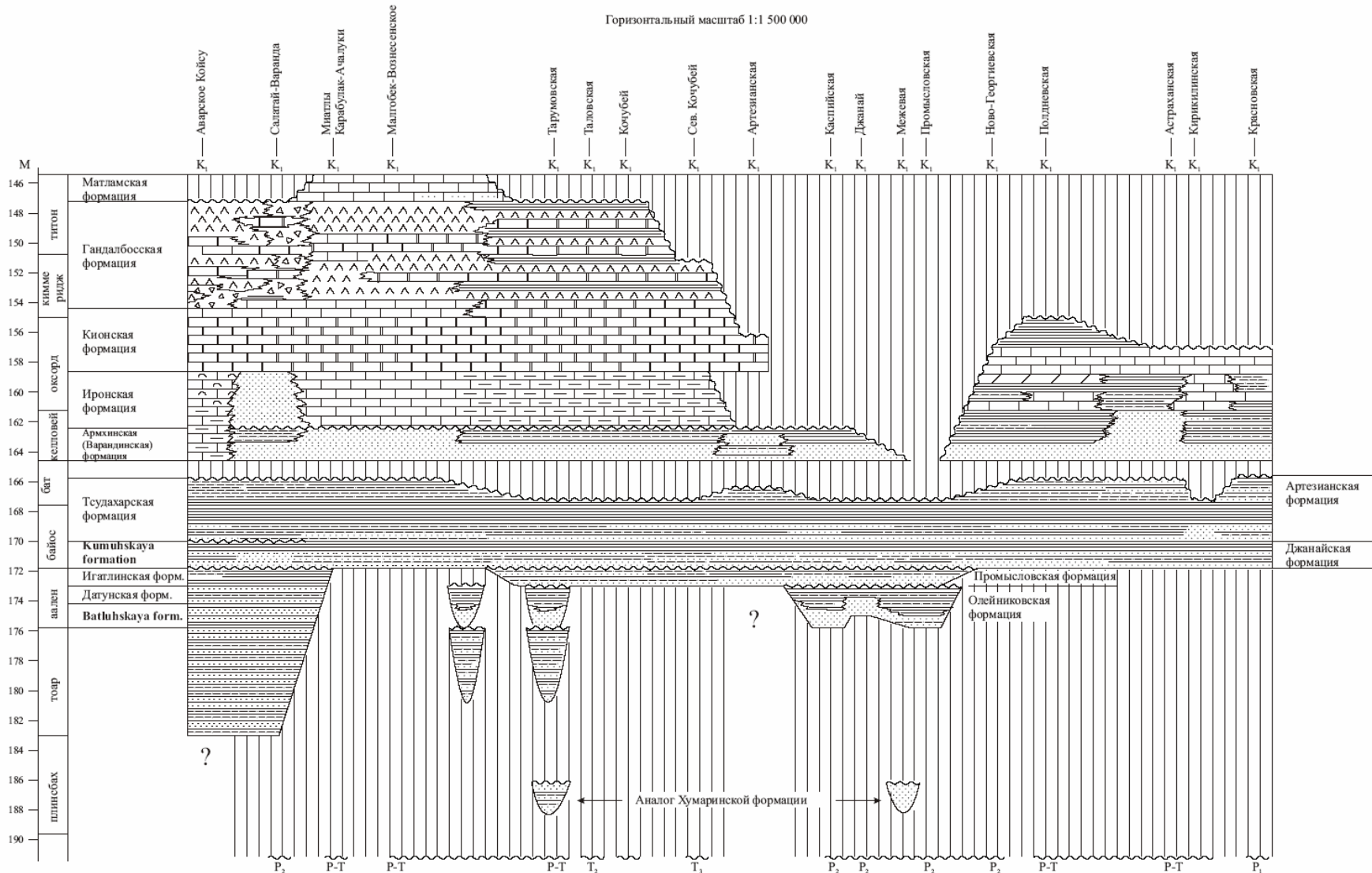
# Хроностратиграфическая схема триасовых отложений северного Предкавказья.





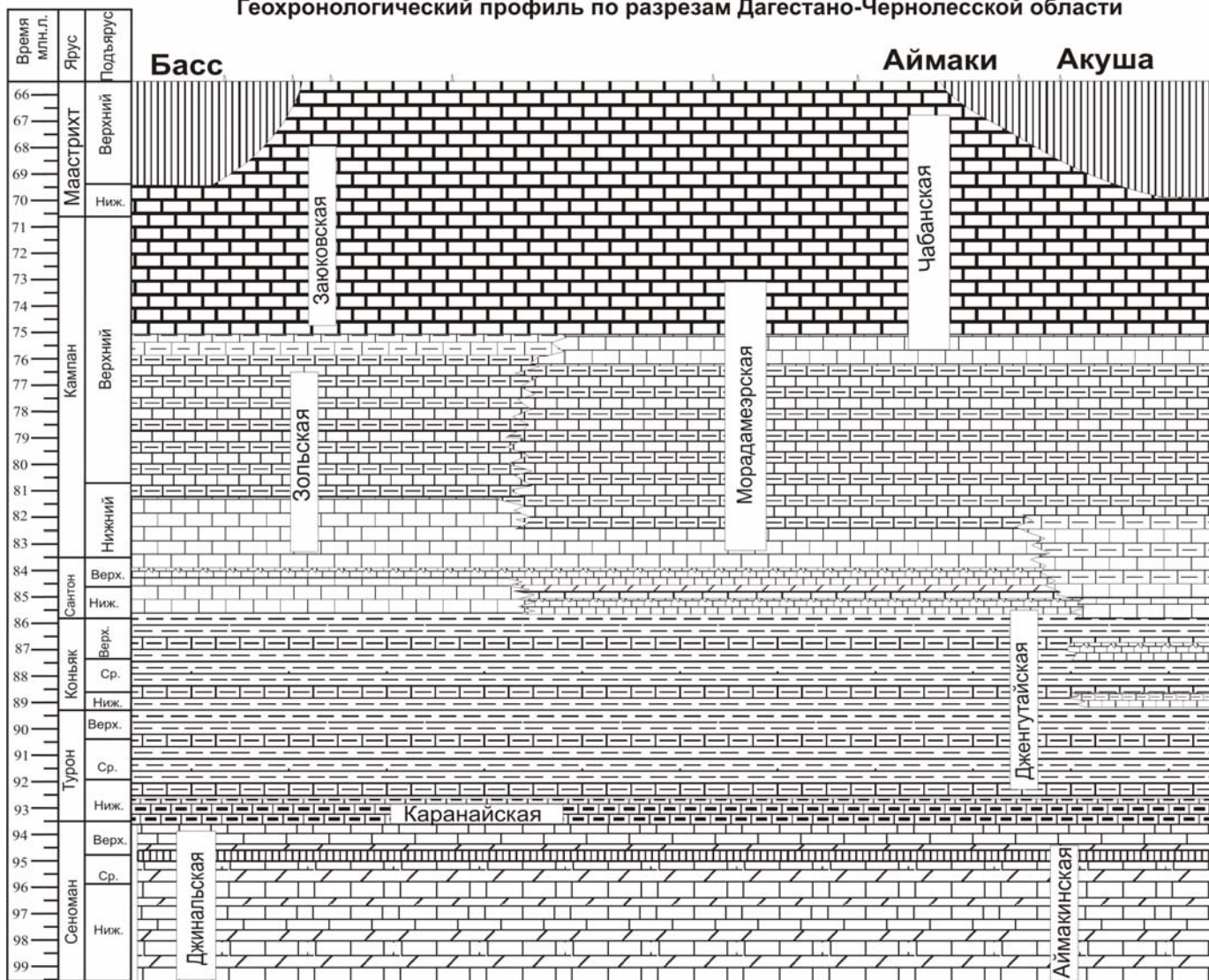
# Хроностратиграфический профиль Юрских отложений Восточного Предкавказья и Южного Прикаспия.

Горизонтальный масштаб 1:1 500 000



# Верхний мел Предкавказья

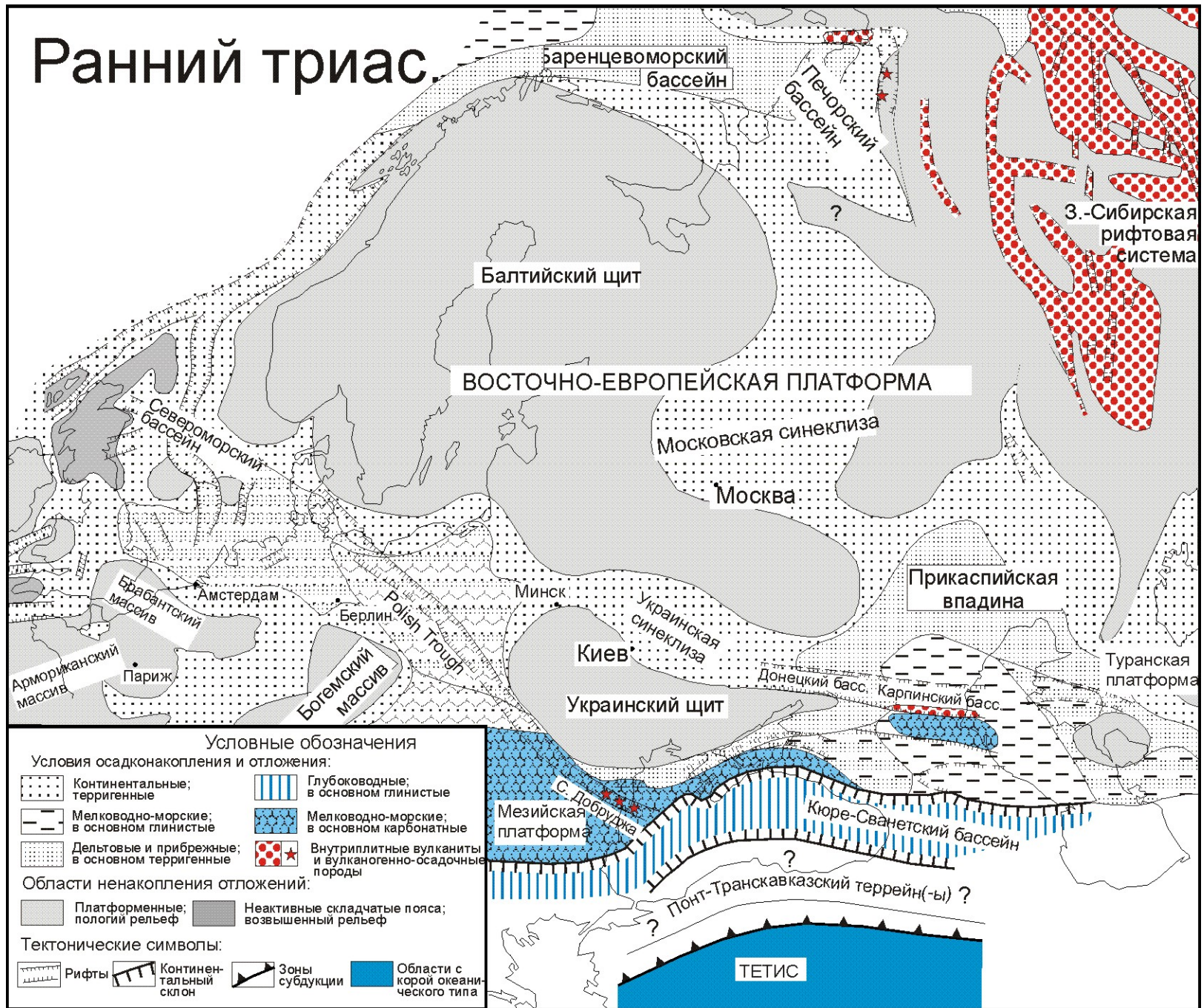
Геохронологический профиль по разрезам Дагестано-Чернолесской области



Альбские отложения



# Ранний триас



## Условные обозначения

### Условия осадконакопления и отложения:

- Континентальные; терригенные
- Мелководно-морские; в основном глинистые
- Дельтовые и прибрежные; в основном терригенные
- Глубоководные; в основном глинистые
- Мелководно-морские; в основном карбонатные
- Внутриплитные вулканы и вулканогенно-осадочные породы

### Области ненакопления отложений:

- Платформенные; пологий рельеф
- Неактивные складчатые пояса; возвышенный рельеф

### Тектонические символы:

- Рифты
- Зоны субдукции
- Области с корой океанического типа
- Континентальный склон



# Поздний триас, норийский век





# Основные тектонические структуры рубежа триаса - юры

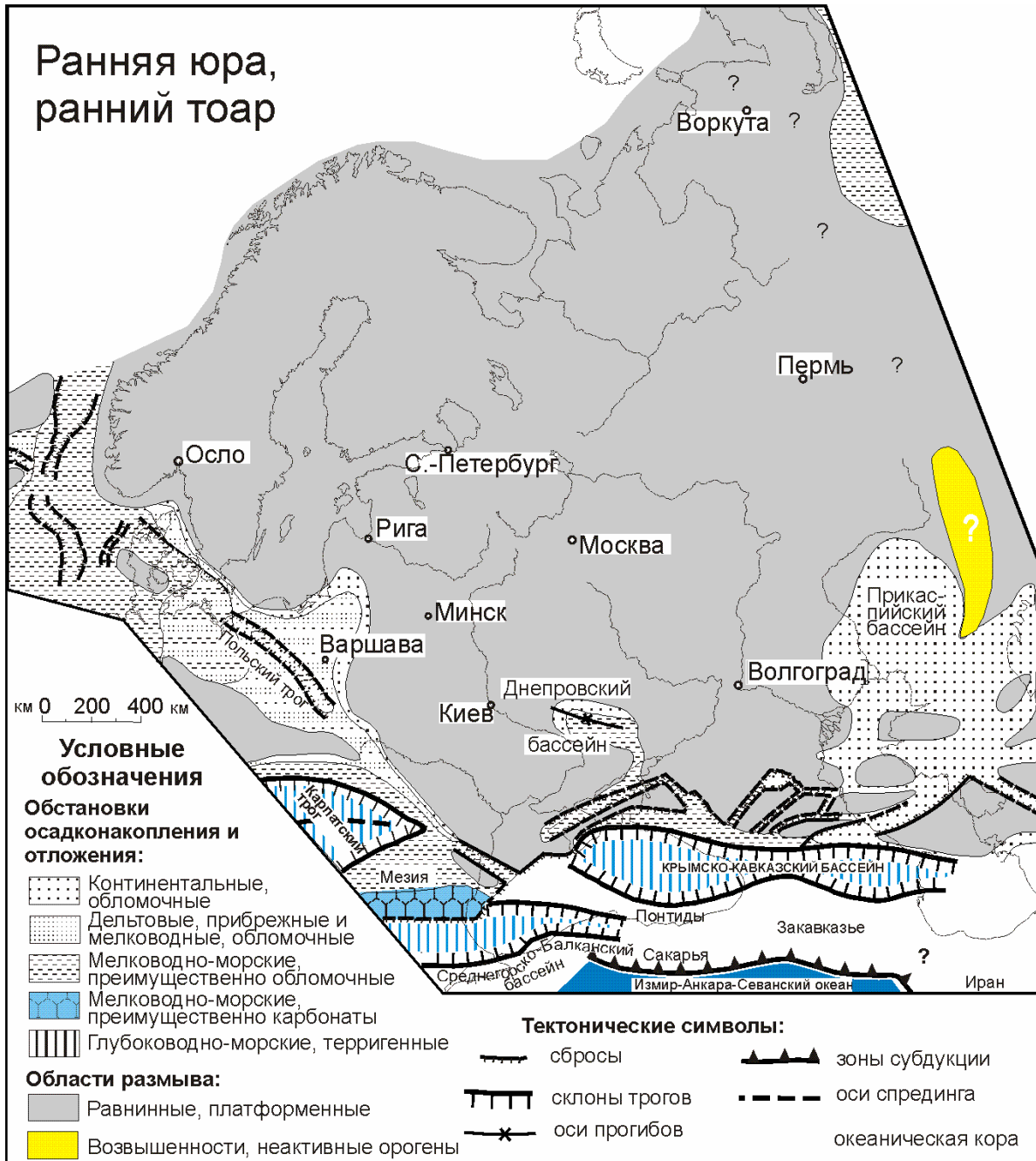


- Условные обозначения
- |  |   |  |                             |
|--|---|--|-----------------------------|
|  | Осадочные бассейны                        |  | Остаточный флишевый бассейн |
|  | (микро-)океанические бассейны             |  | Общеплитосферные складки    |
|  | Внутриплитный магматизм                   |  | Рифты                       |
|  | Равнинные поднятия                        |  | Континентальный склон       |
|  | Внутриплитные инверсионные валы и орогены |  | Зоны субдукции              |
|  | Активные орогены                          |  | Основные сuture             |

Сокращения:  
КЮК - Кюро-Южнокрымский бассейн

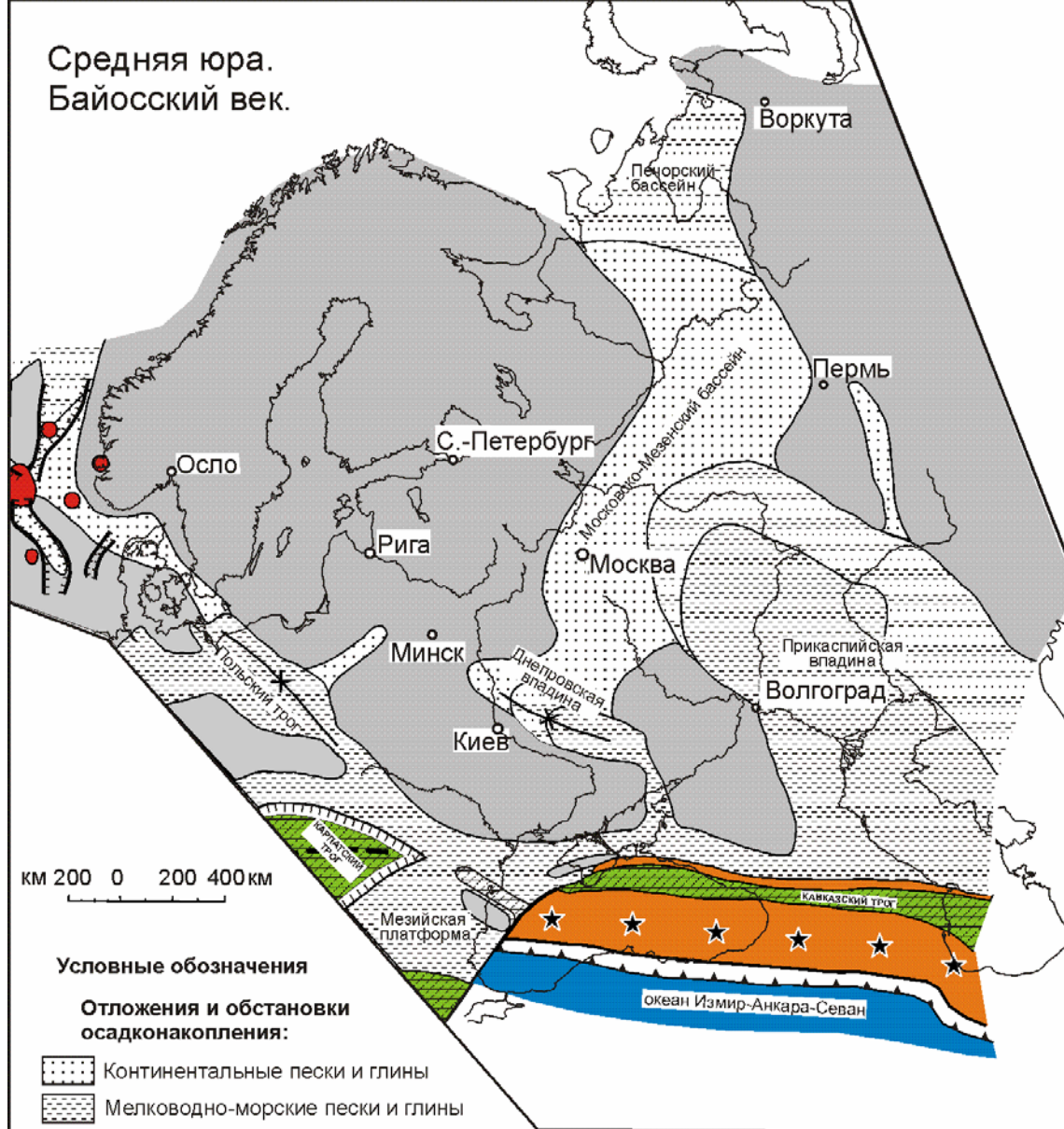


# Ранняя юра, ранний тоар








Средняя юра.  
Байосский век.





км 200 0 200 400 км

**Условные обозначения**

**Отложения и обстановки осадконакопления:**

-  Континентальные пески и глины
-  Мелководно-морские пески и глины
-  Глубоководные терригенные отложения

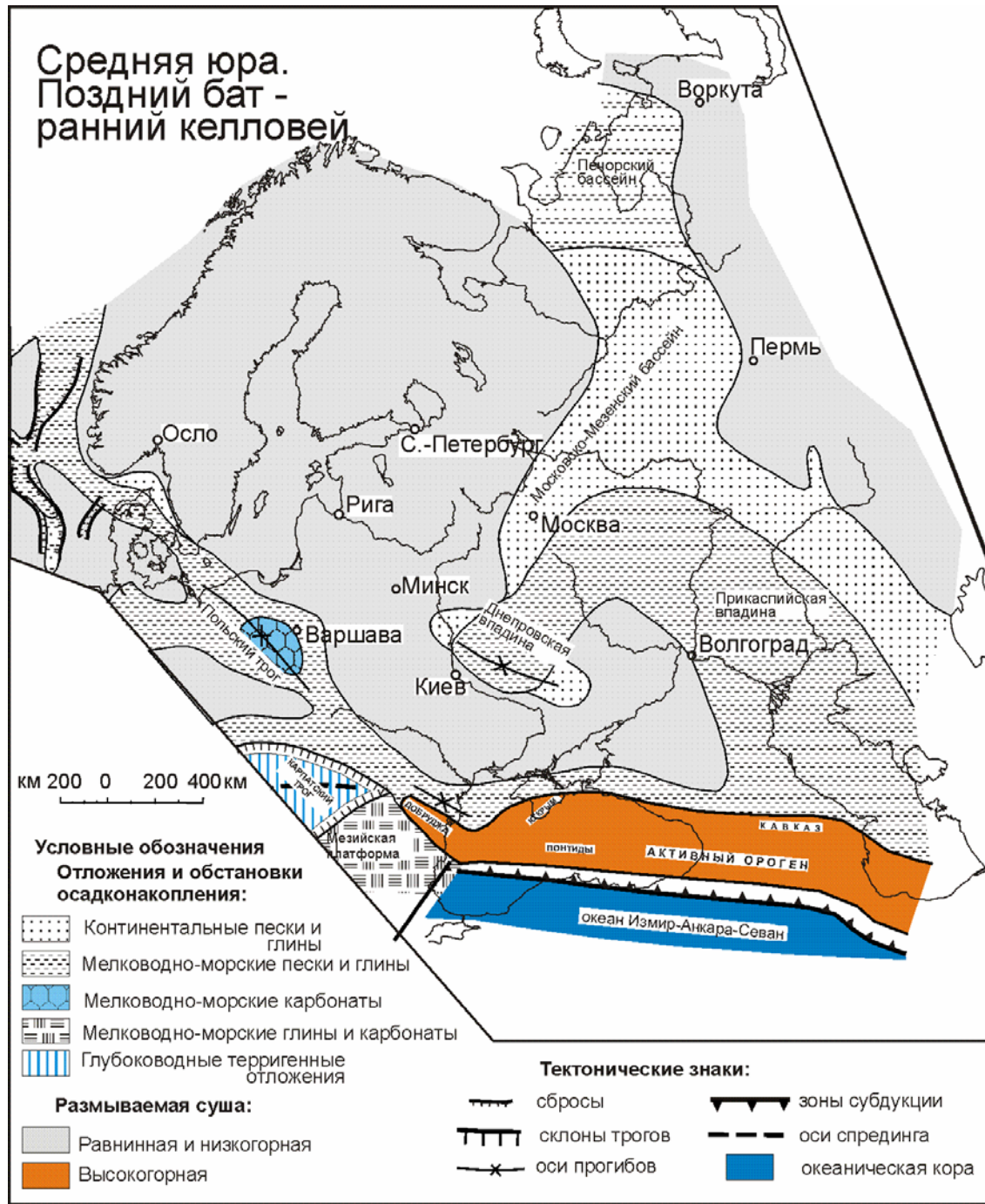
**Размываемая суша:**

-  Равнинная и низкогорная
-  Средне- и высокогорная

**Тектонические знаки:**

-  сбросы
-  склоны трогов
-  зоны субдукции
-  оси спрединга
-  океаническая кора
-  островодужный вулканизм
-  внутриплитный вулканизм

Средняя юра.  
Поздний бат -  
ранний келловей





Позднеюрская эпоха.  
Киммериджский и  
титонский века.

Сокращения:  
ВК- Вост.-Кубанский  
бассейн; СБ- Средне-  
горско-Балканский  
бассейн; ЮК-  
Южно-Крымский  
бассейн



км 200 0 200 400км

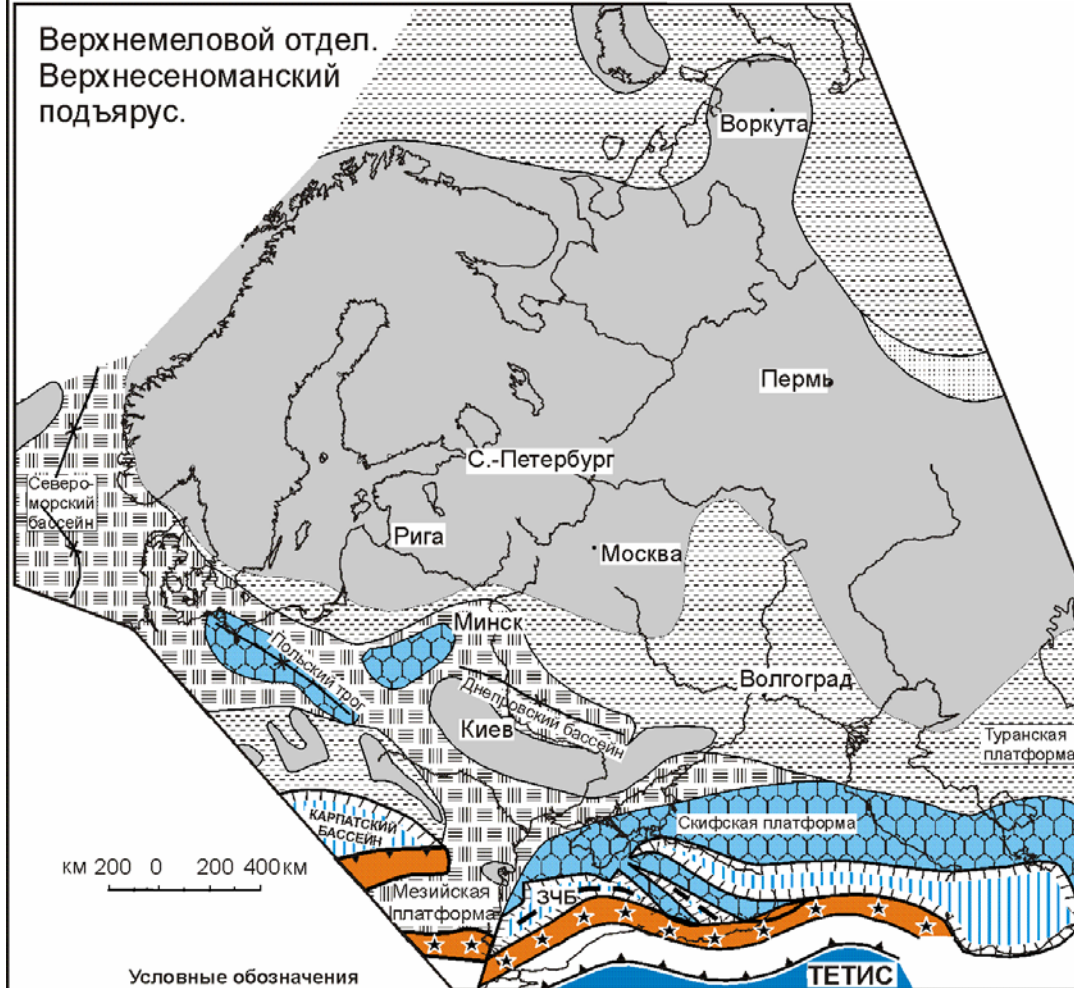
**УСЛОВНЫЕ ОБОЗНАЧЕНИЯ**

Обстановки осадконакопления и отложения:

- |   |   |                                 |
|---|---|---------------------------------|
| Дельтовые, прибрежно- и мелководно-морские; терригенные | Мелководно-морские: карбонатные и терригенные | Области ненакопления отложений: |
| Мелководно-морские; преимущественно глинистые           | Глубоководные; обломочные и глинистые         | Платформенные; пологий рельеф   |
| Мелководно-морские; преимущественно карбонатные         | Эвапориты                                     |                                 |

Тектонические символы:

- |               |                              |                                   |
|---------------|------------------------------|-----------------------------------|
| сбросы        | зоны субдукции               | Области островодужного магматизма |
| склоны трогов | зоны спрединга               |                                   |
| оси прогибов  | области с океанической корой |                                   |



Условные обозначения

Обстановки осадконакопления и отложения:

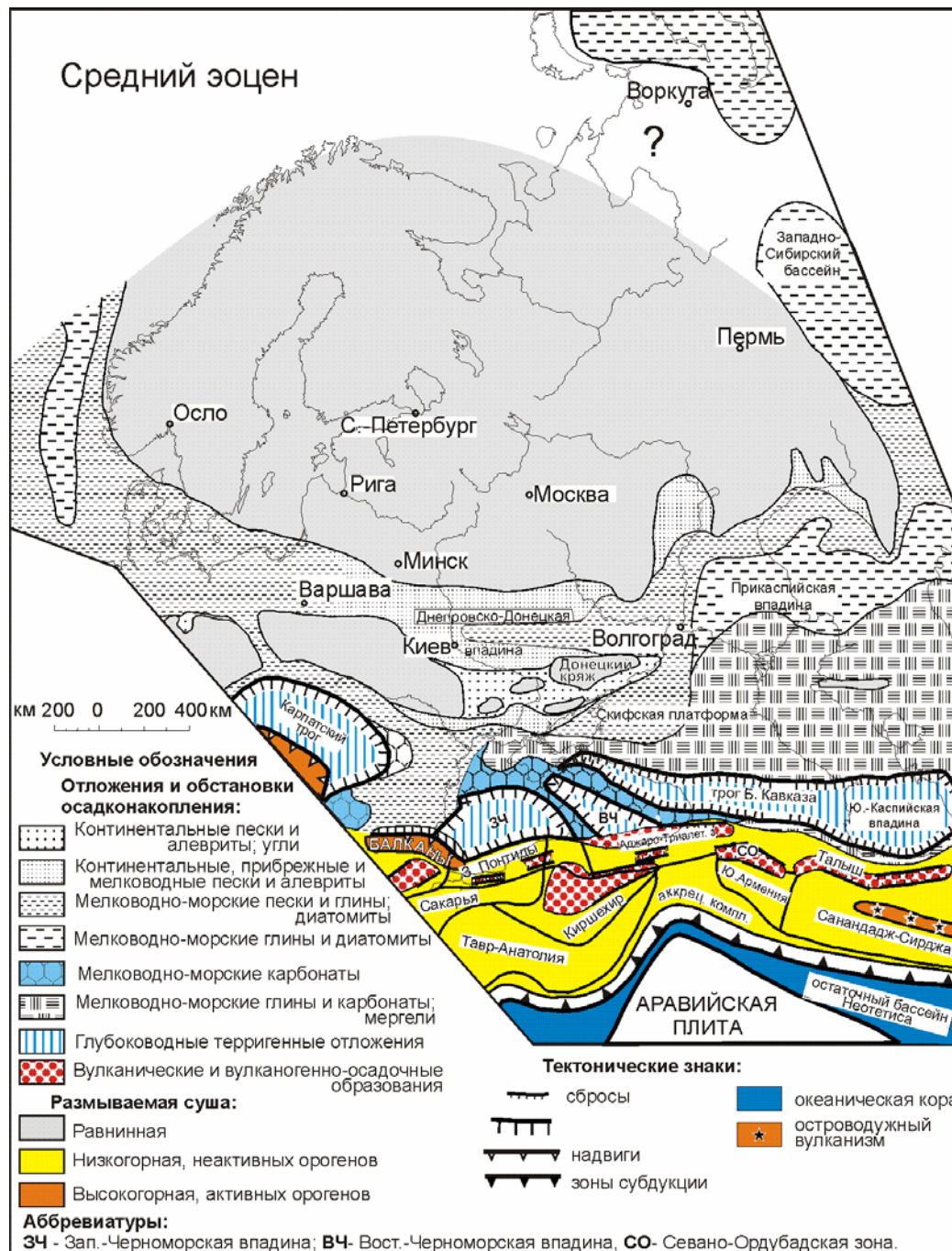
- |   |   |  |
|---|---|--|
| Дельтовые, прибрежные и мелководно-морские; в осн. обломочные | Мелководно-морские: в основном карбонатные    | Области ненакопления отложений:          |
| Мелководно-морские; в основном обломочные                     | Мелководно-морские: карбонатные и терригенные | Платформенные, пологий рельеф            |
|   | Глубоководные: обломочные и глинистые         | Активные складчатые пояса: горный рельеф |

Тектонические символы:

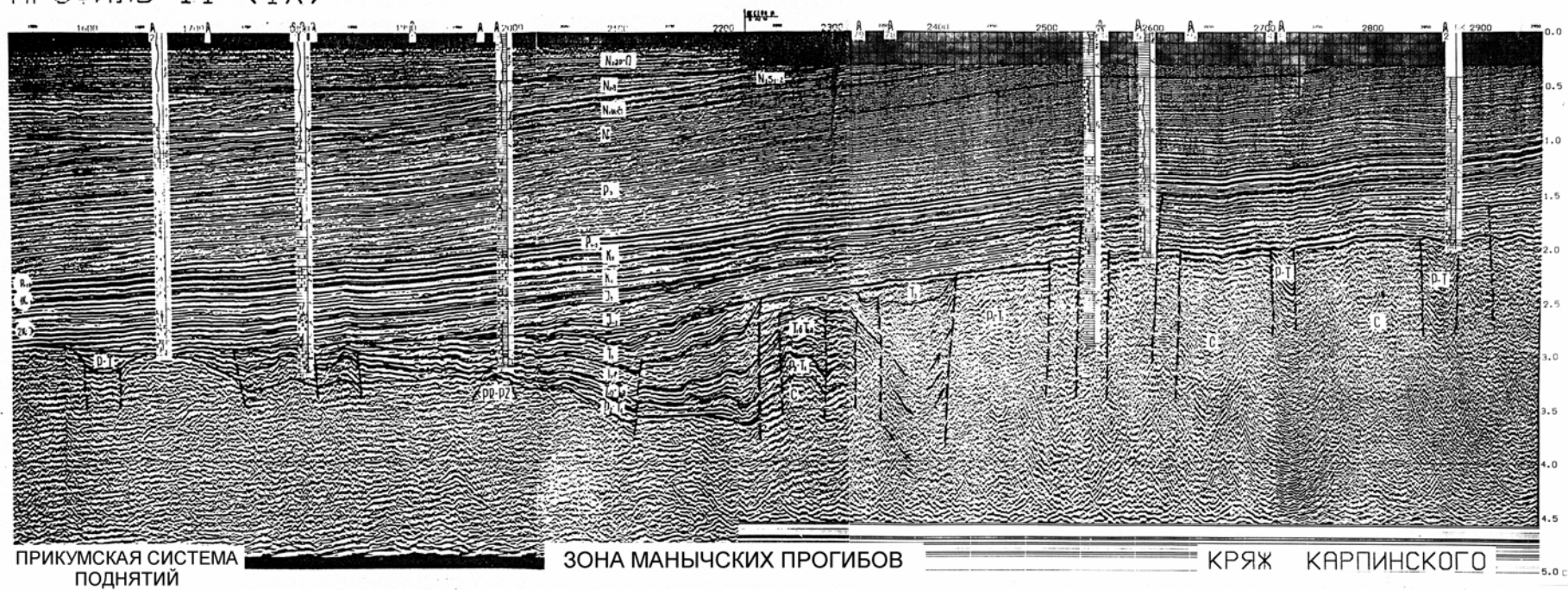
- |                       |                              |                                   |
|-----------------------|------------------------------|-----------------------------------|
| Сбросы                | Зоны субдукции               | Области островодужного магматизма |
| Континентальный склон | Зоны спрединга               |                                   |
| Оси прогибов          | Области с океанической корой |                                   |

Сокращения:  
3ЧБ Западно-Черноморский бассейн





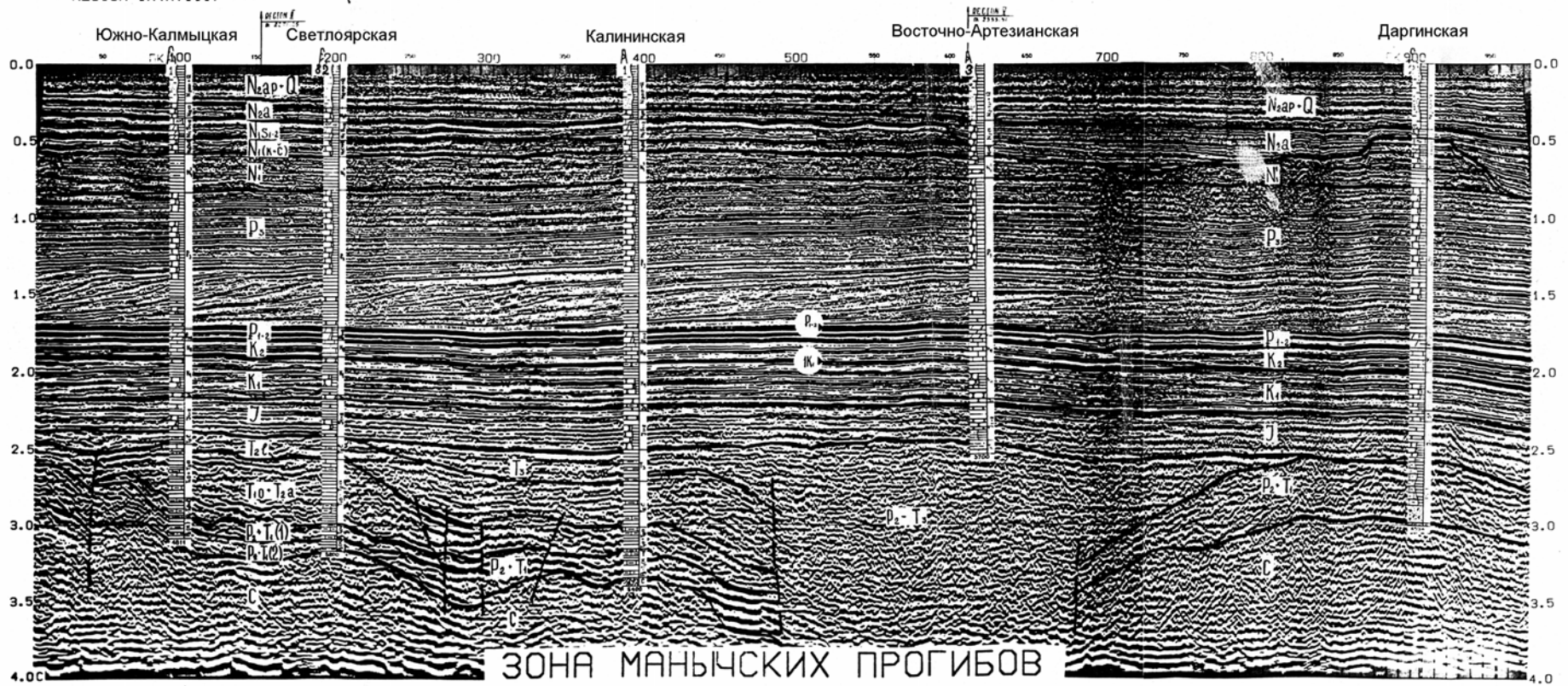
# ПРОФИЛЬ II (IX)





# РЕГИОНАЛЬНЫЙ ПРОФИЛЬ IX (XVIII)

◆◆ REGION IX (XVIII) ◆◆





Клиноформные образования майкопа



# Профиль 017.93.01

0179301 13-02  
014 9202 210-62

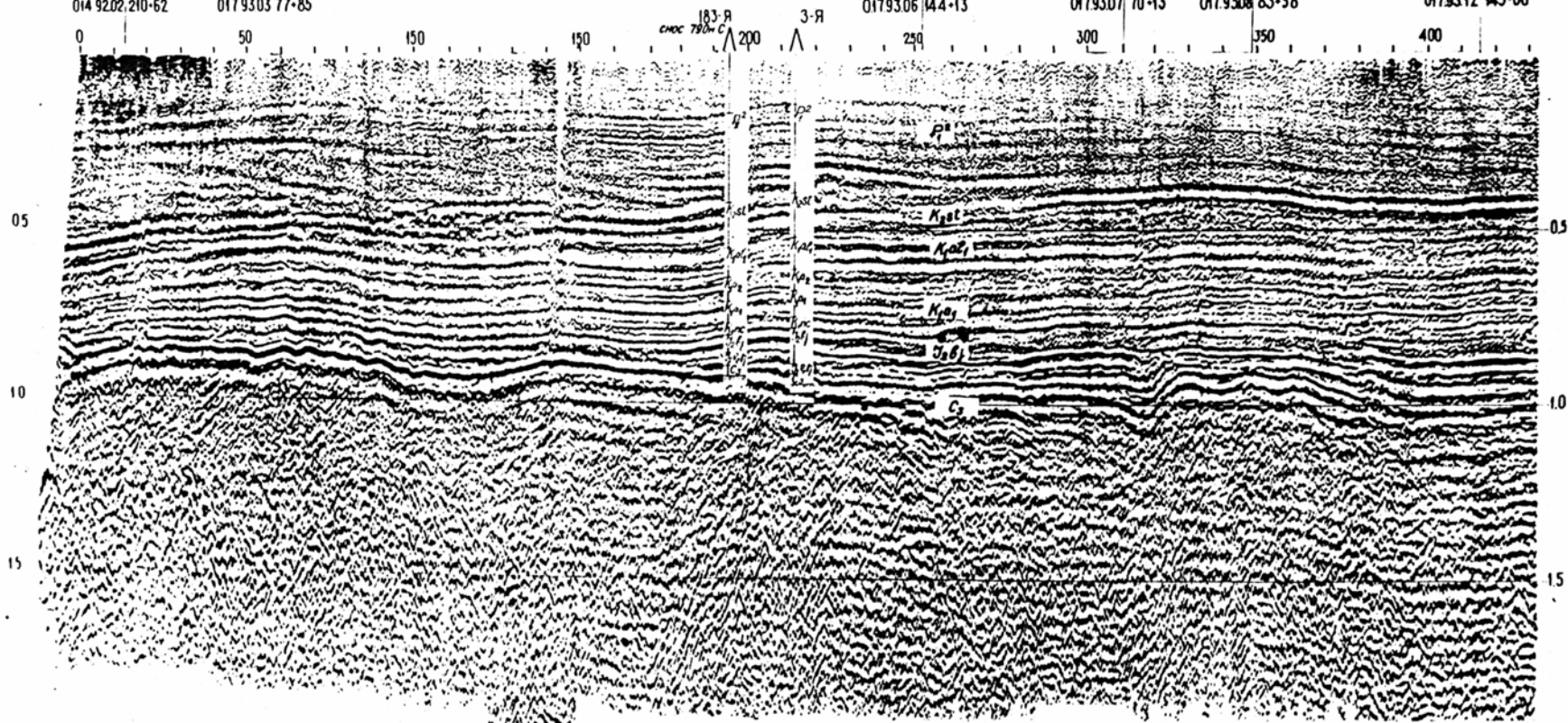
0179301 57-61  
0179303 77-85

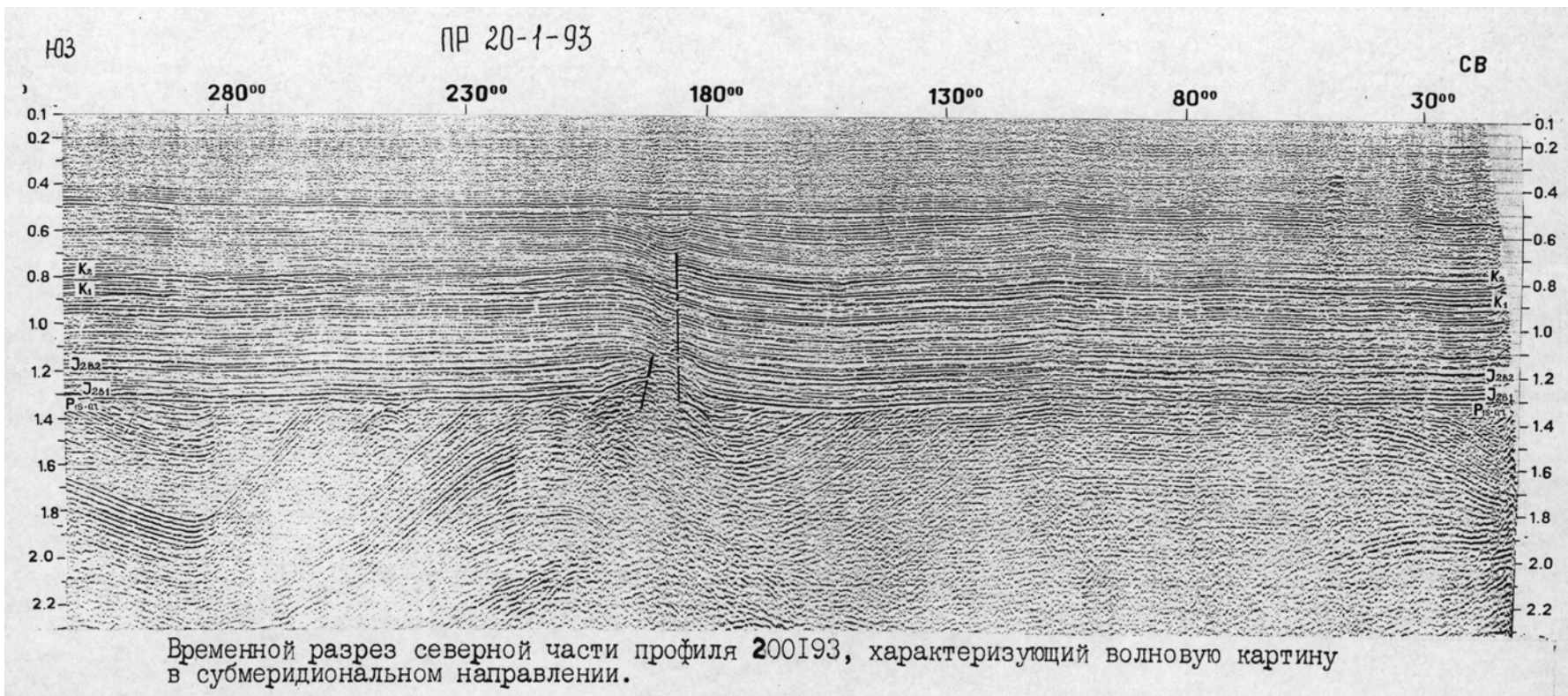
01793.01 253-26  
01793.06 144-13

017.93.01 310-02  
01793.07 70-13

017.93.01 348-60  
017.9308 83-58

01793.01 415-25  
017.93.12 145-00







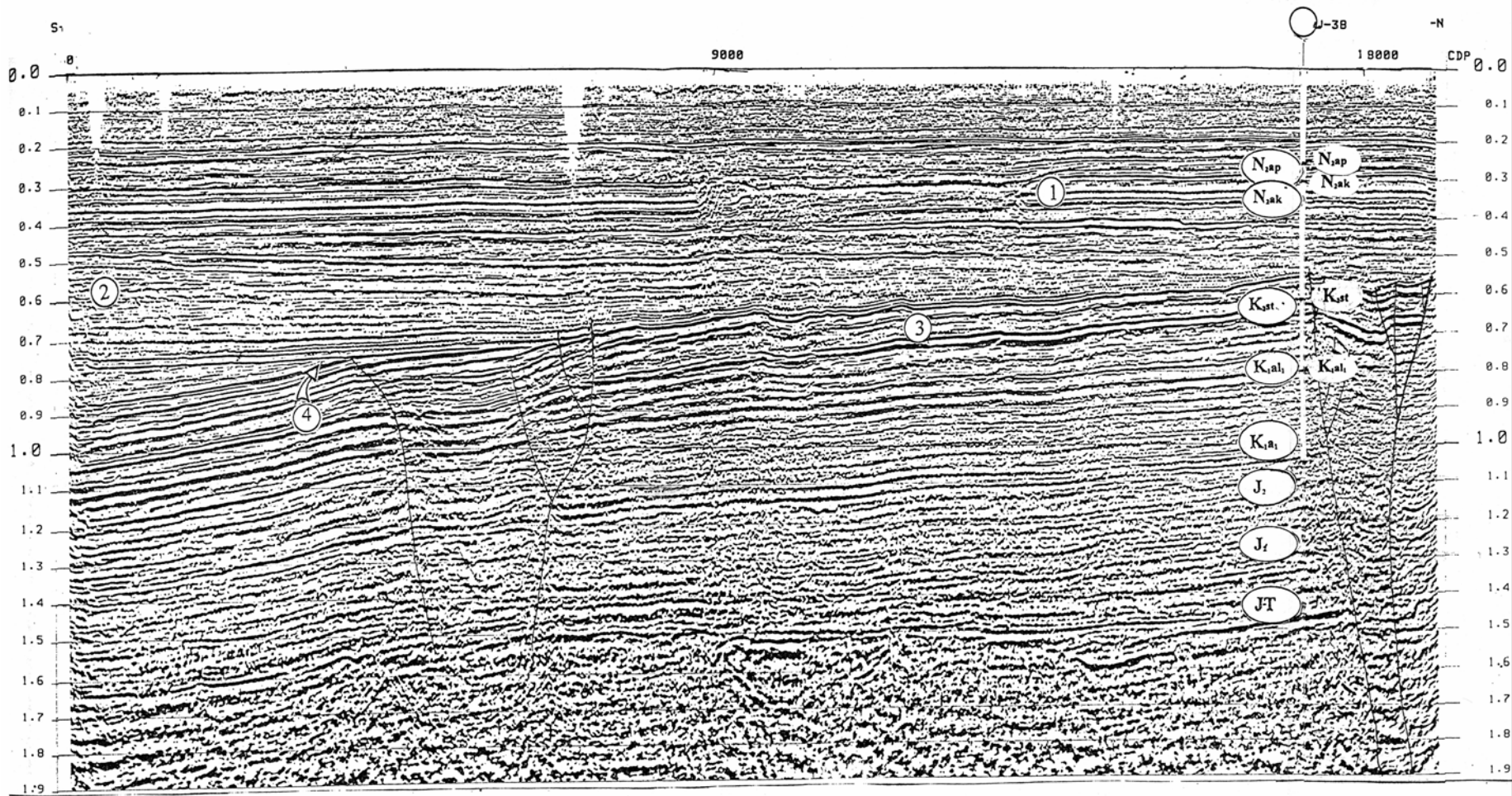


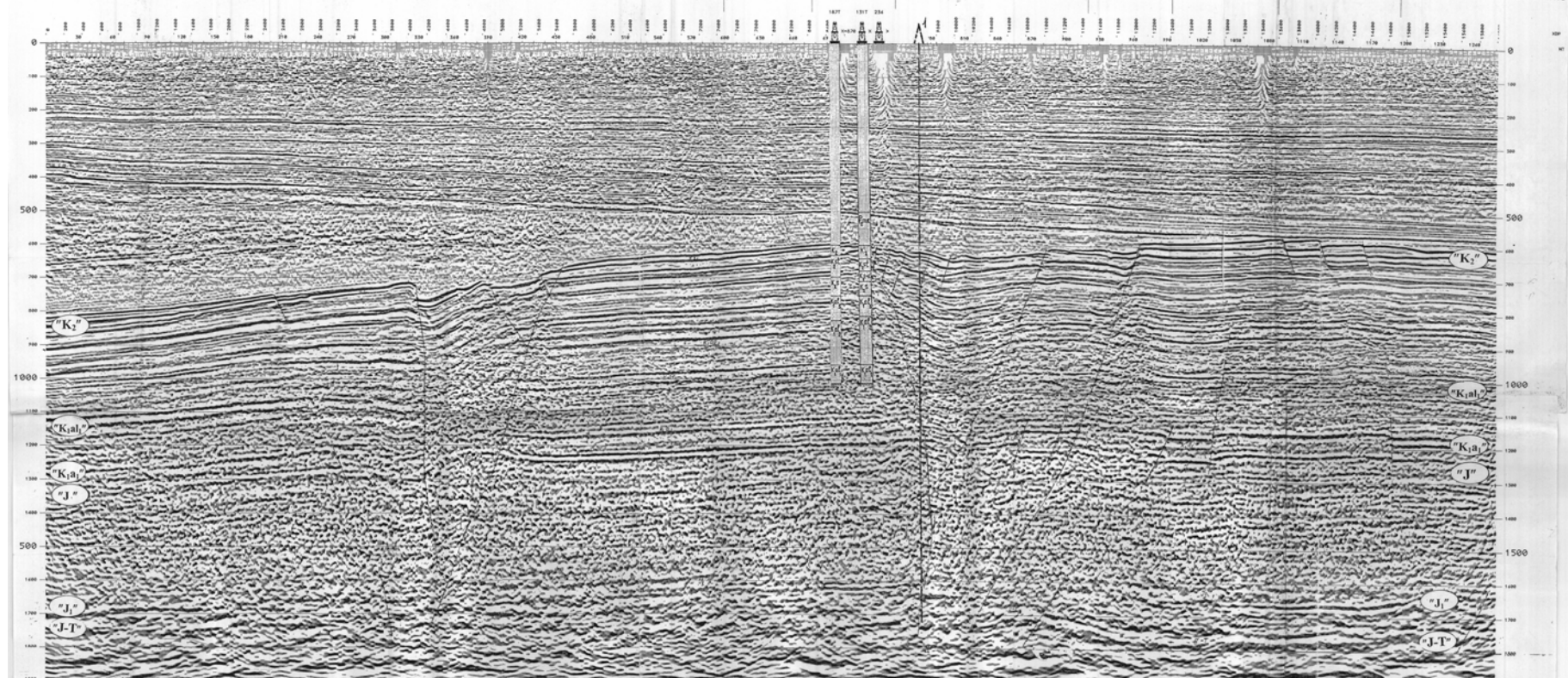
Рис. 19 Временной мигрированный разрез профиля 022.95.22.

На этом рисунке хорошо выделяется северная линия выклинивания отложений майкопской свиты, выше по разрезу в отложениях верхнего плицена наблюдается anomальная волновая картина, отображающая палеоруло древней реки. В мезозойских отложениях происходит сокращение мощностей пород с севера на юг.

- 1 - склон палеорула
- 2 - клиноформы в отложениях ачкагыльского яруса неогена
- 3 - «K<sub>1st</sub>» уровень, на который выравнивался разрез профиля 022.95.22

Г10Н

LINE INTE



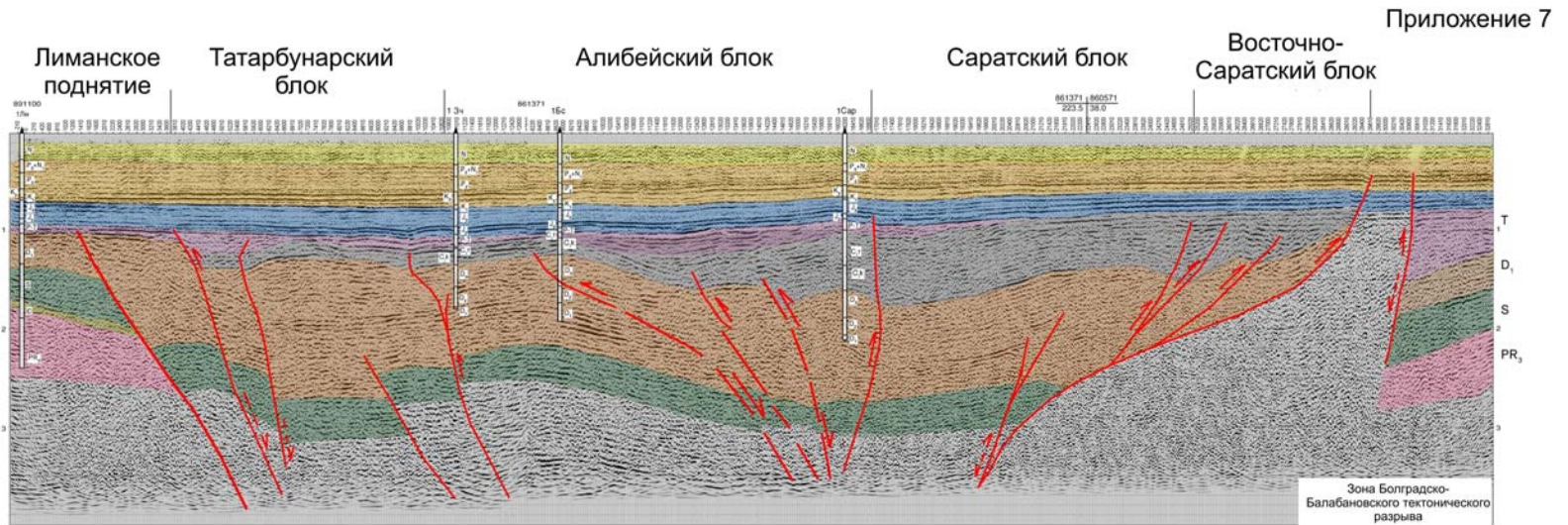
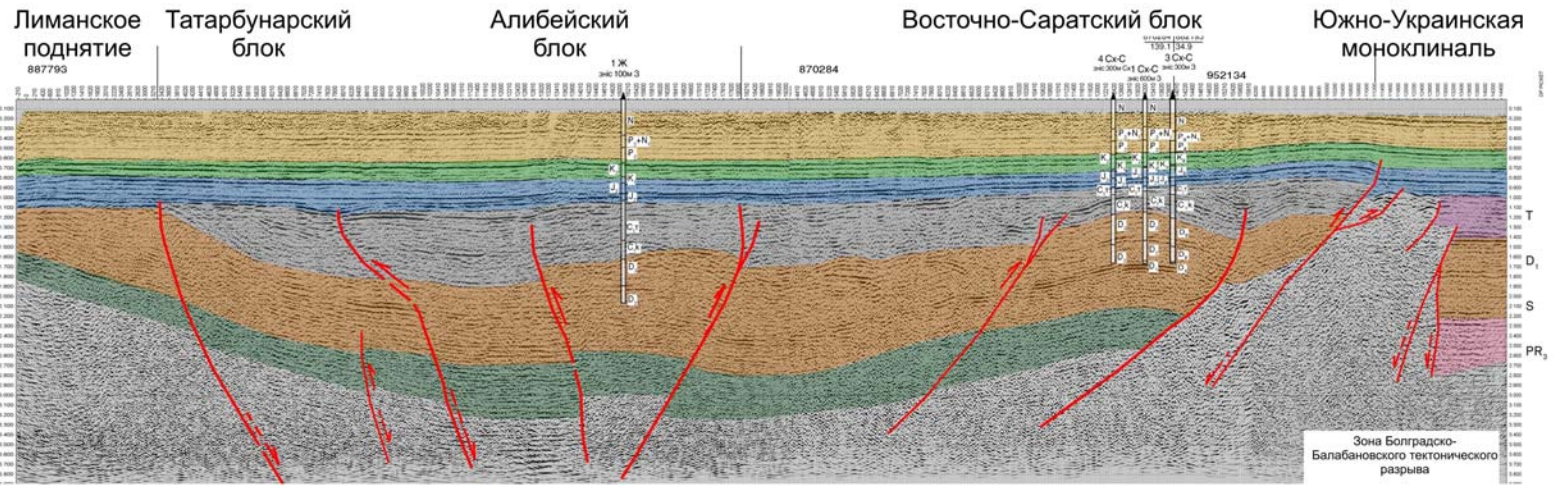
Министерство геологии и разведки Российской Федерации ЗАО «ИГГ» «Санкт-Петербургский геофизик»	К обязательному отчету по теме 30796-06 по договору с АО « (Технологический центр)»
	Ответственный исполнитель вед. геофизик Жигель В.А.
Приложение 61 Масштаб: гор. 1:16000 верт. 1см = 50м	Временной миграции профиля 24.95.64
Составил: Давытова В.Е., Андреева И.С. Проверил: г.а. геолог Андрей Г.И., г.а. геофизик Головачко А.М.	





Преддобруджинский прогиб









Группа	Возраст отложений			Литоличе- ская колонка	Максимальная мощность, м	Нефтегазонос- ные и перс- пективные комплексы	Нефте- газоносность	Месторож- дения				
	Система	Отдел, серия	Ярус									
Кайнозойская	Неоэоценовая	Плиоцен- новый	Мелочес- кий	250	Неоэо- цено- вый	● ○	△	Валенское нефтяное, Викторовское и Енинзийское газовые (Румыния)				
			Сармат- ский	200								
		Олиоце- новый	300									
			300									
			15									
	Палеогеновая	Верхний	450									
			500									
		Меловая	850									
			500									
			700									
Мезозойская	Юрская	Верхний	850	Юрский	△	▲						
			500									
			700									
		Средний	1500									
			3200									
	Триасовая	Верхний	3200									
			>940									
		Нижний	2500									
	Палеозойская	Пермская	Верх- ний					2500	Пермско-триасовый	△	▲	
			Нижний									
Каменно- угольная		Нижний	650									
			260									
		Верх- ний	300									
			400									
			420									
Девонская		Сред- ний	400									
			500									
		Нижний	1050									
Силурий- ская	Верхний	500										
		540										
	Нижний	120										
		280										
Протерозойская	Вендская	Венд- ская	1300	Вендский		▲						

Условные обозначения:

- гравелиты, конгломераты
- песчаники
- пески
- алевролиты
- песчанистые глины
- глины
- аргиллиты
- мергели
- известняки
- доломиты
- ангидриты, гипсы
- туфы, туффиты
- эффузивные породы
- породы кристаллического фундамента

Промышленные притоки:

- нефти
- газа

Проявления:

- ▲ нефти
- △ газа